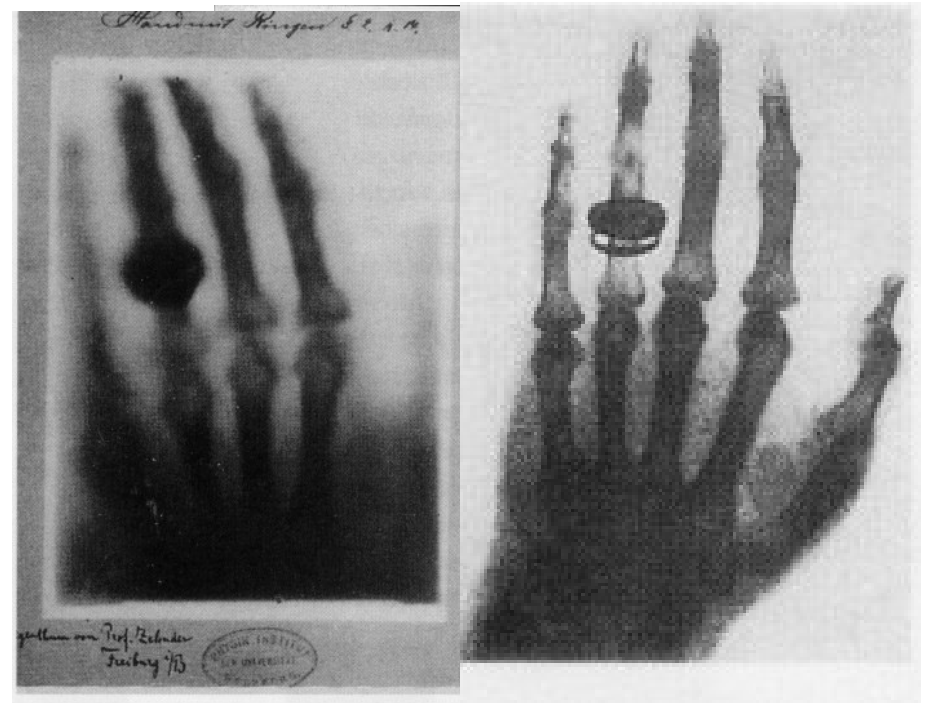


# **Les bases physiques de l'imagerie radiologique**

# Radiographie

- **1895** Röntgen

Découverte des propriétés des rayons X par Roentgen. Les rayons X permettent de voir uniquement l'os, le poumon et les produits de contraste artificiels.



# L'image radiologique

*Procédé d'imagerie utilisant des Rayons X*

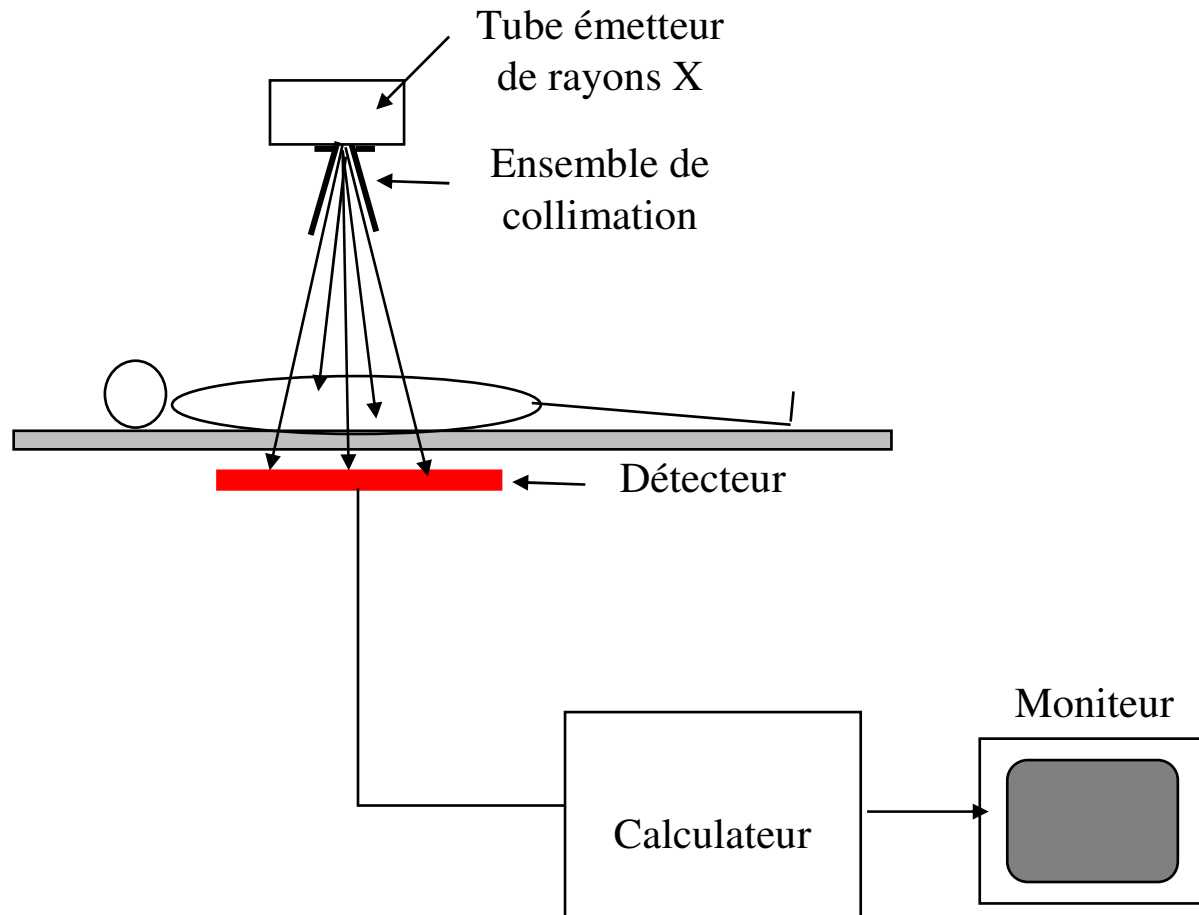
**1895 (Roëntgen)**



**1995**



# composants de la chaîne image radiologique



# La production des Rayons X

## *rappels*

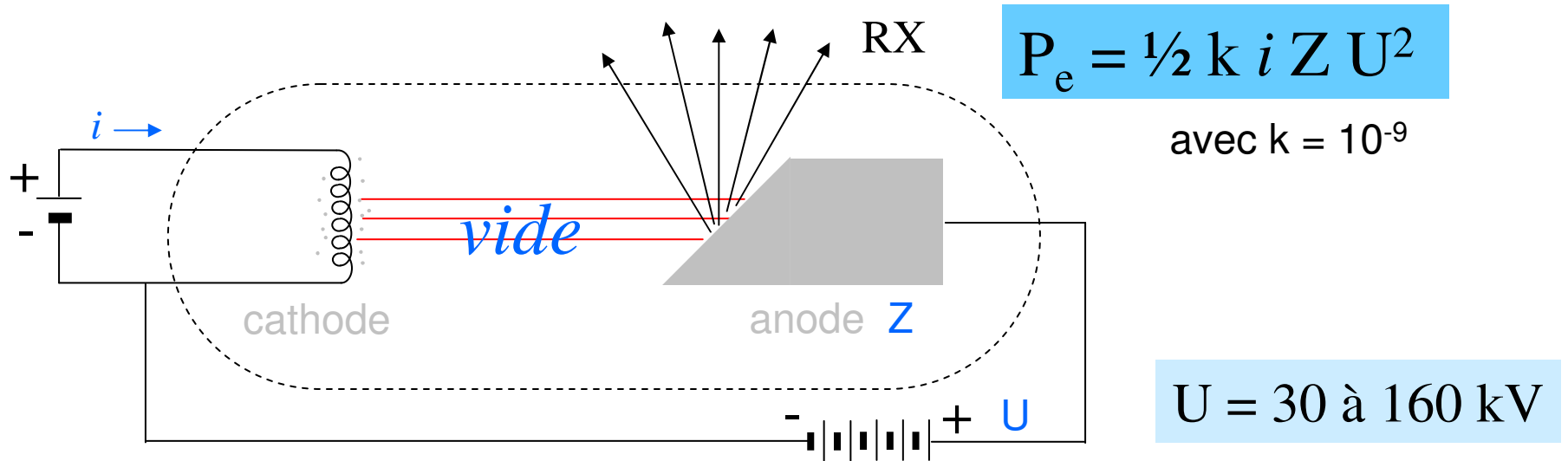
le tube radiogène (*Coolidge 1906*)

le spectre continu

le spectre de raies

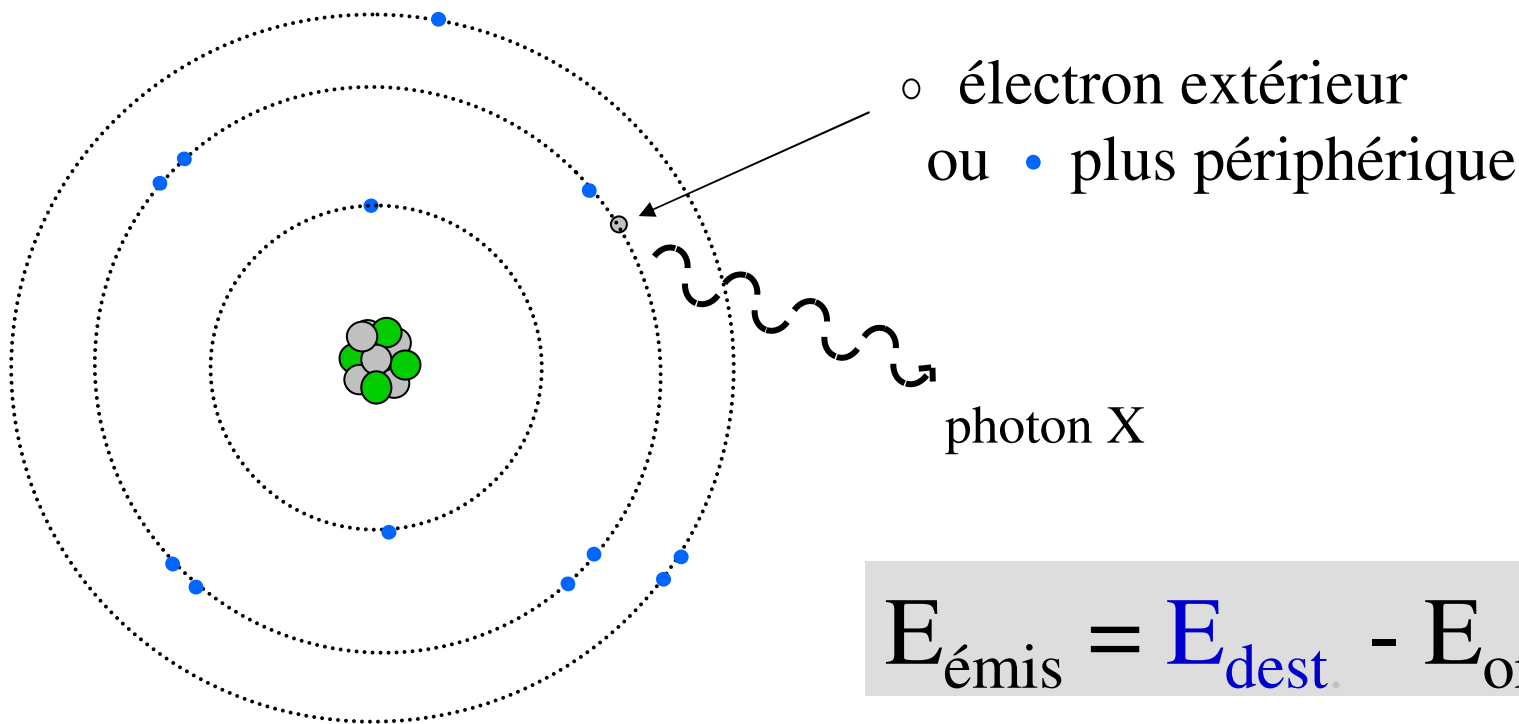
# Production des Rayons X

On bombarde une cible métallique (anode) par un faisceau d'électrons accélérés.



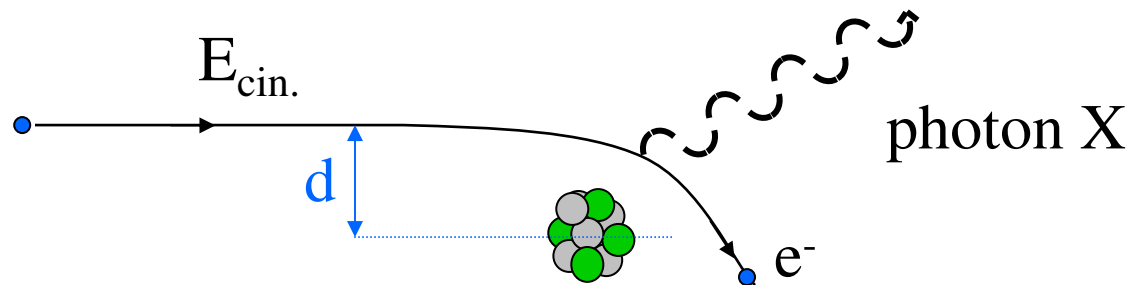
Deux mécanismes simultanés vont se produire

# La Fluorescence



Spectre de RAIES (sauts quantiques)  
(valeur fonction du type d'atome de la cible)

# Le rayonnement de freinage



L'énergie cinétique perdue est fonction de la distance  $d$  entre trajectoire et axe du noyau.

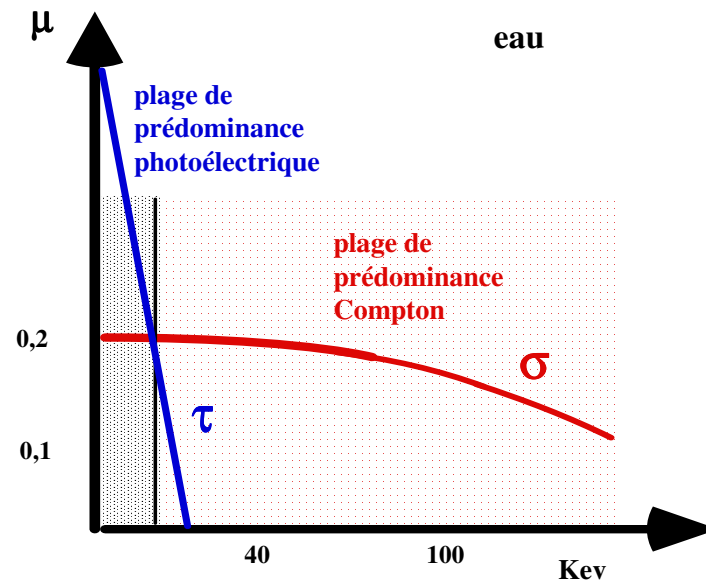
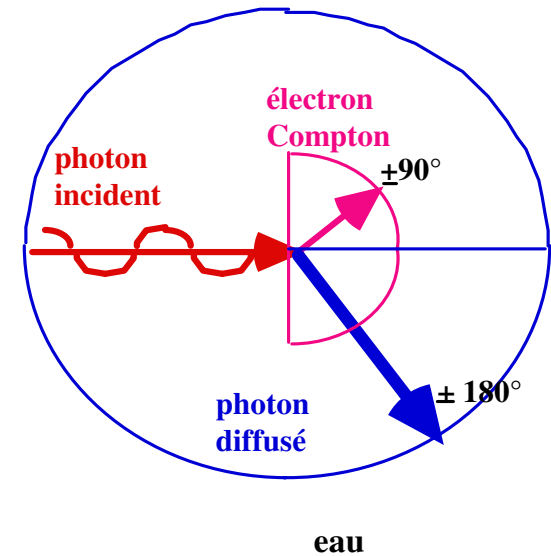
**Spectre CONTINU**

(valeur maximale  $E_{\text{max}} = E_{\text{cin.}}$  de la particule incidente)

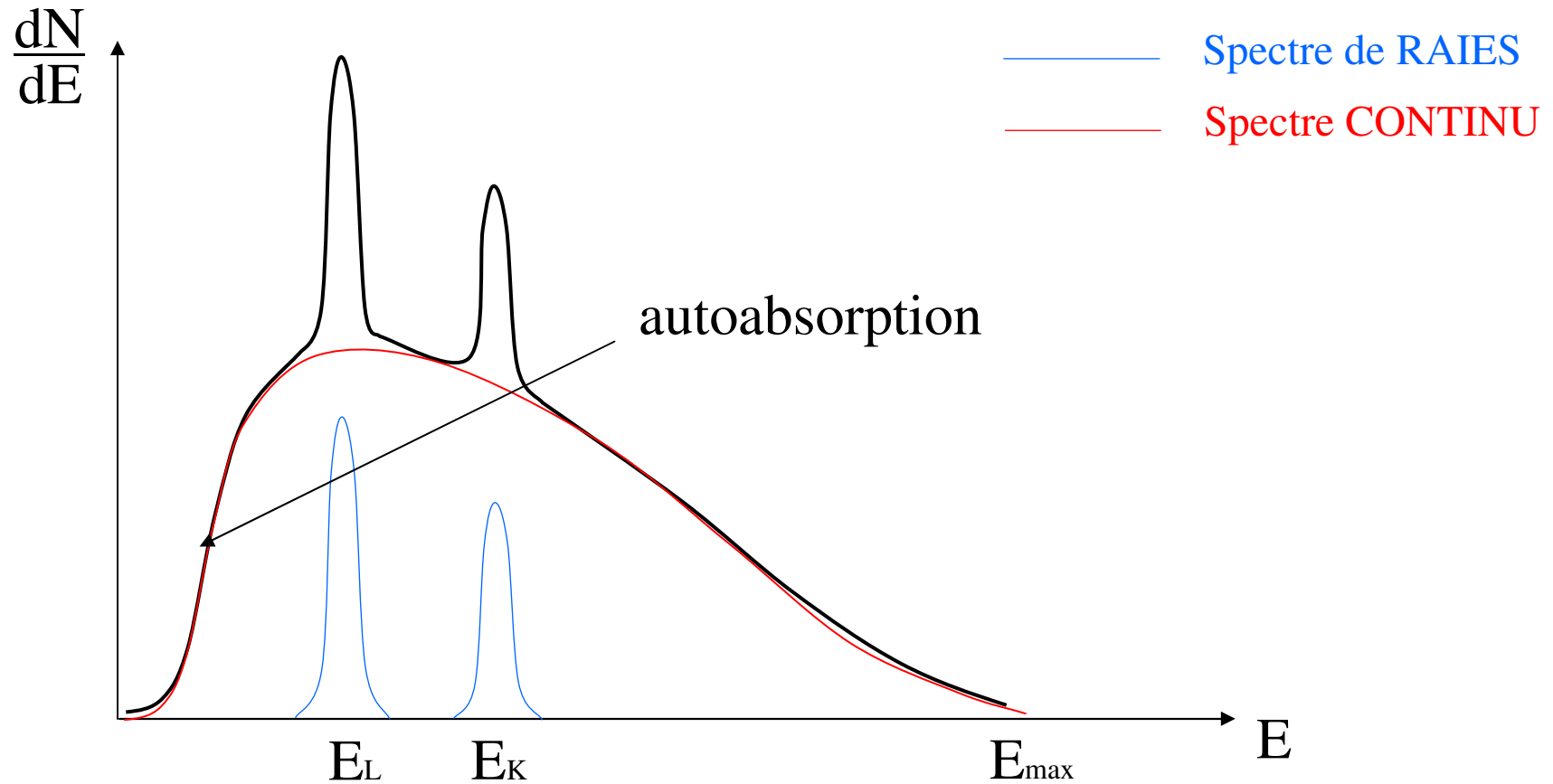


# Interaction : atténuation

- Effet Compton :
  - si forte énergie
  - interaction avec  $e^-$  périphériques
  - photons diffusés
- Effet photo-électrique
  - $e^-$  profonds
  - absorption

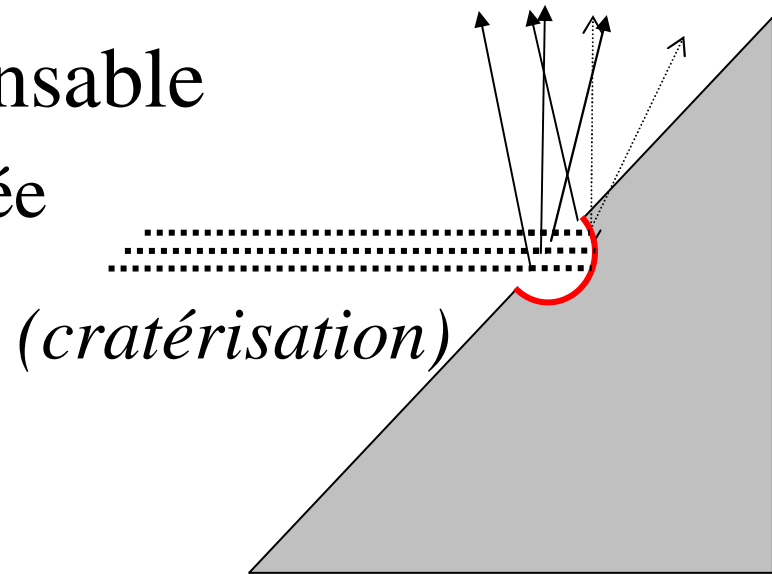


# Spectre des Rayons X



# Un peu de technologie

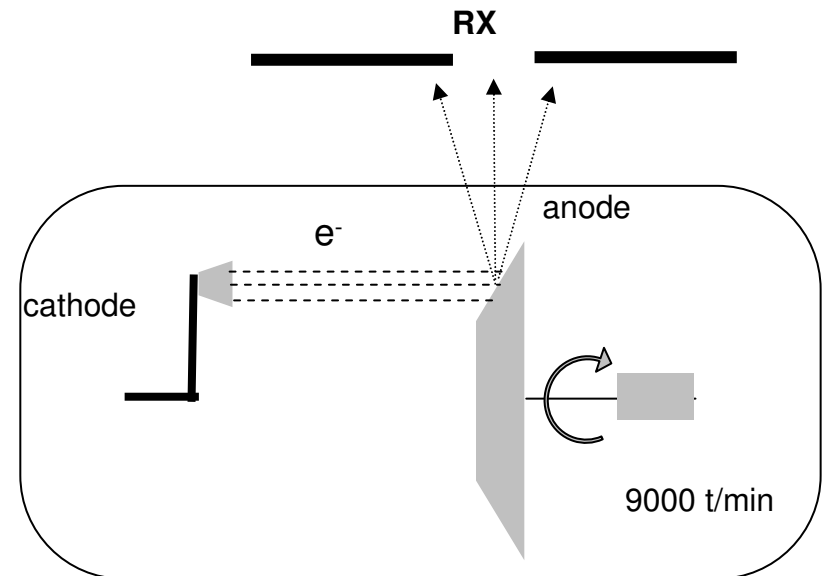
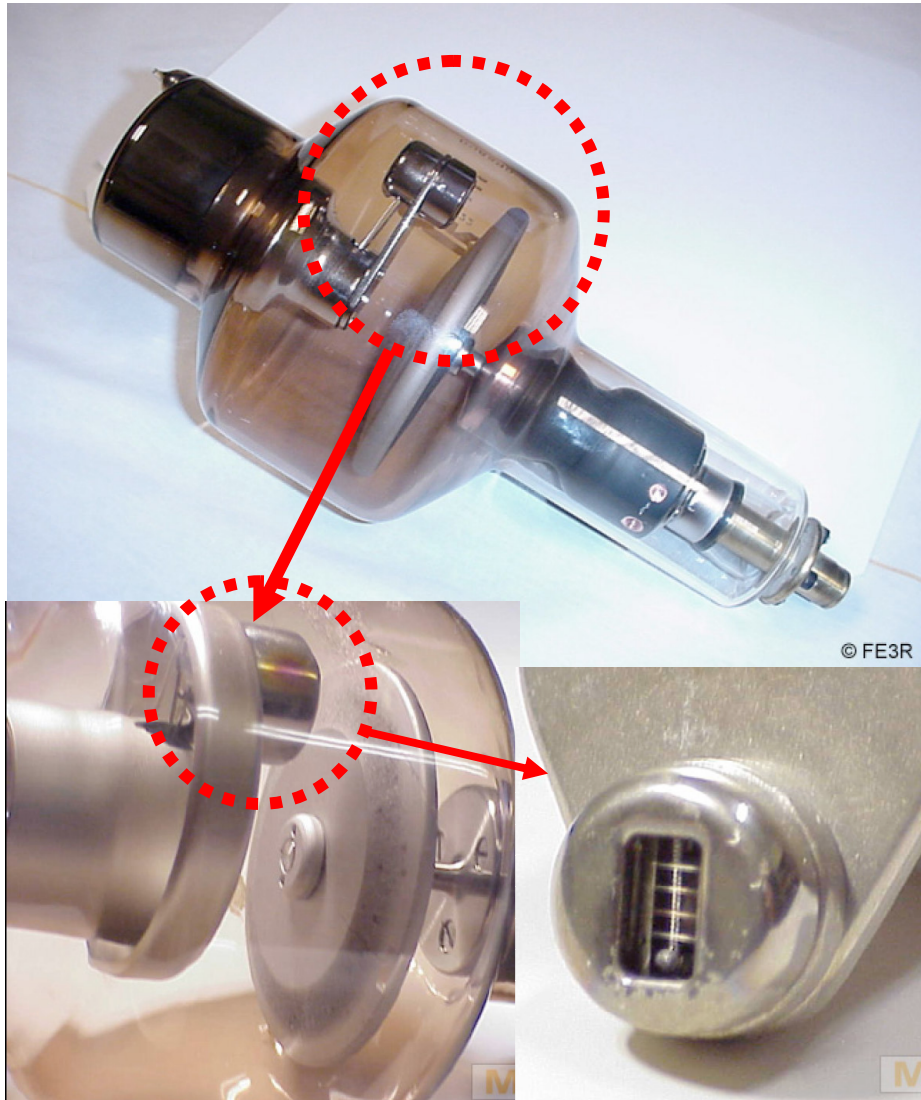
- Dissipation importante de chaleur
  - Puissance émise :  $P_e = \frac{1}{2} k i Z U^2$
  - Puissance consommée :  $P_c = U i$
  - $P_c \gg P_e$        $P_e / P_c \cong 1 \%$
- Refroidissement indispensable
  - Limiter l'usure prématurée



# Un peu de technologie

- Dissipation importante de chaleur
  - Puissance émise :  $P_e = \frac{1}{2} k i Z U^2$
  - Puissance consommée :  $P_c = U i$
  - $P_c \gg P_e$        $P_e / P_c \cong 1 \%$
- Refroidissement indispensable
  - *Métal résistant (Tungstène :  $T_f=3600^\circ\text{C}$ )*
  - *Fluide caloporteur*
  - *Anode tournante (disque biseauté)*

# L'anode tournante

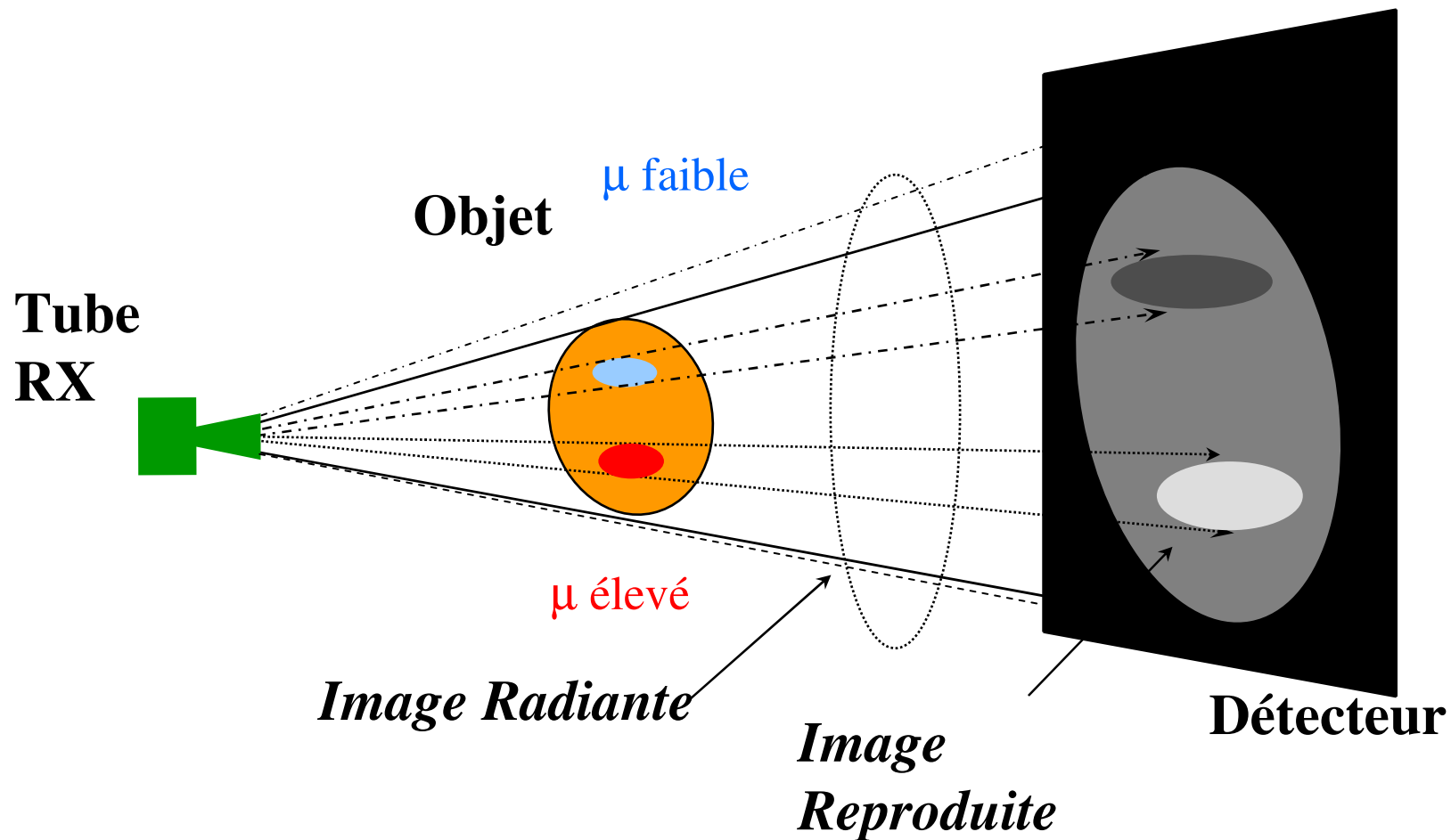


# **L'image radiologique**

la formation

# L'image radiologique

*Image de l'atténuation d'un faisceau de rayons X  
par le tissu traversé*



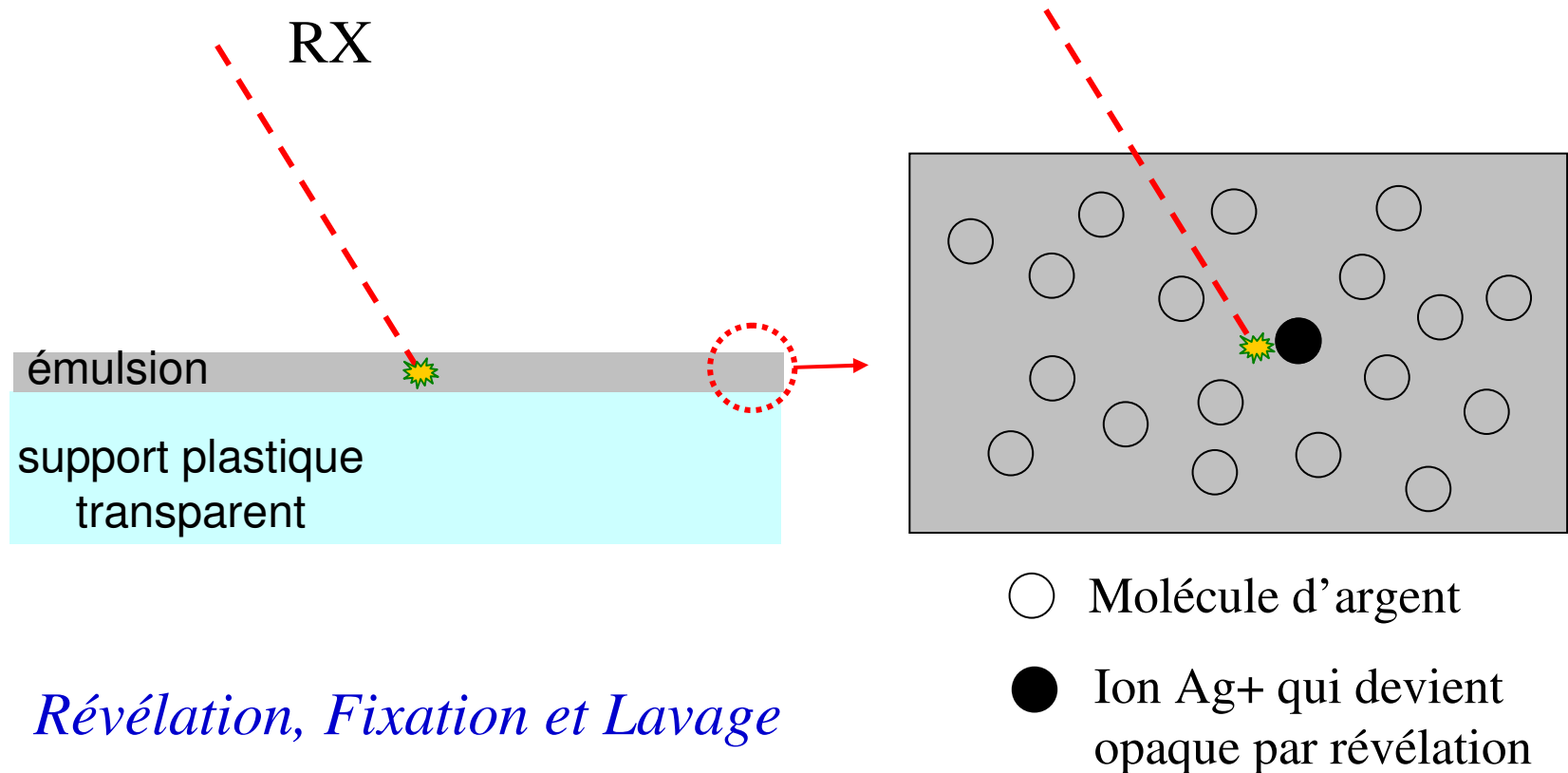
# Imagerie d'atténuation

- L'image radiologique n'est pas l'image de l'objet lui-même mais la projection sur un plan des valeurs  $\mu$  des coefficients d'atténuation de chaque structure atteinte par les rayons X.



# Le film RX : le détecteur

Le film photographique constitue le détecteur «classique» en radiologie.



# Difficultés de vocabulaire

Par analogie avec la lumière :

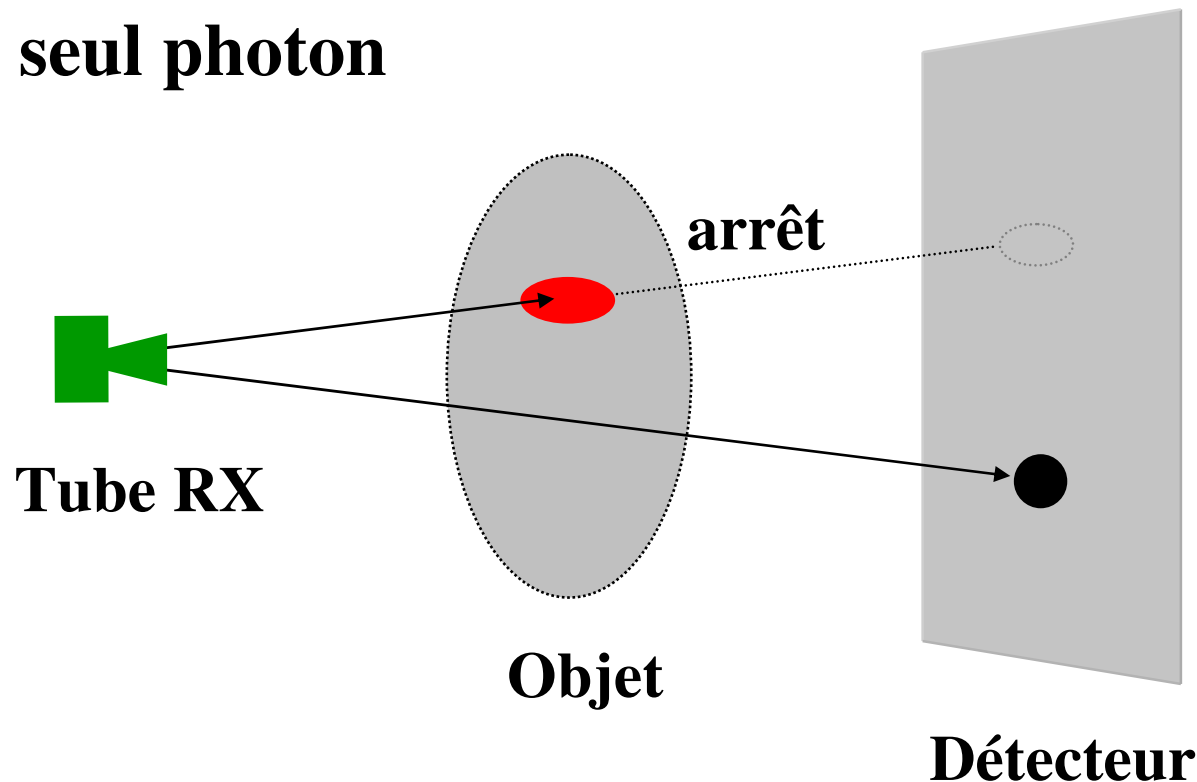
- Quand les rayons X atteignent le film, ils provoquent un noircissement, mais comme ils ont traversé le corps, on parle de clarté
- Dans les zones non exposées, le film reste transparent, mais comme les rayons ont été arrêtés on parle d'opacité

# **L'image radiologique**

de la théorie à la pratique

# Etapes de la formation de l'image (1)

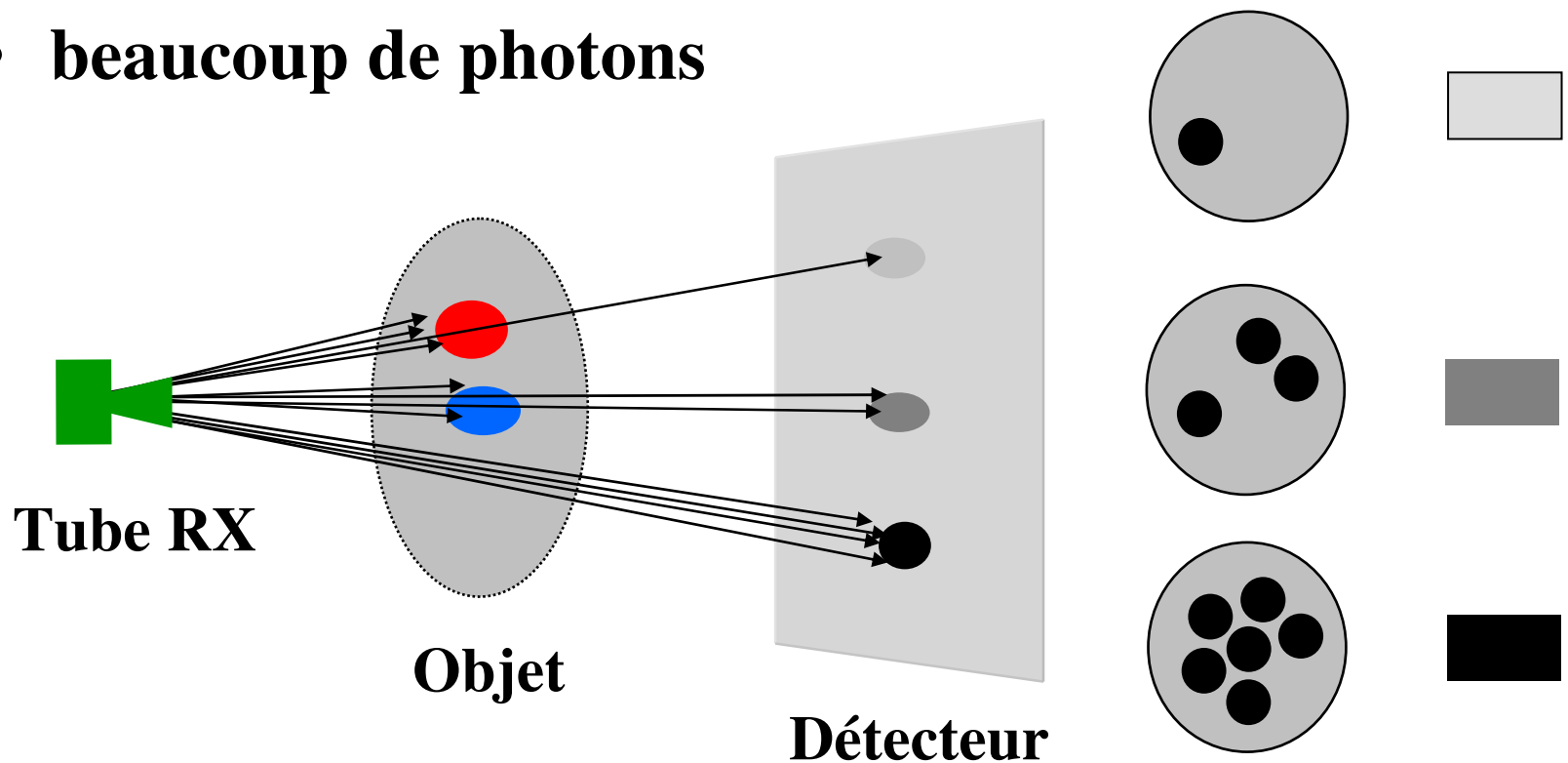
- effet photo-électrique
- un seul photon



**effet binaire : 1 ou 0 : tout ou rien**

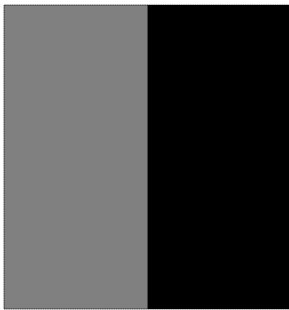
# Etapes de la formation de l'image (2)

- effet photo-électrique
- beaucoup de photons

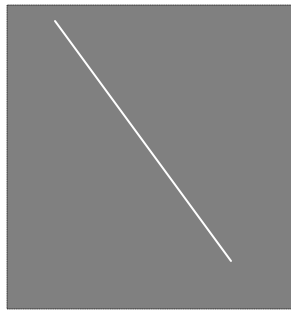


**modulation : somme d'effets binaires**

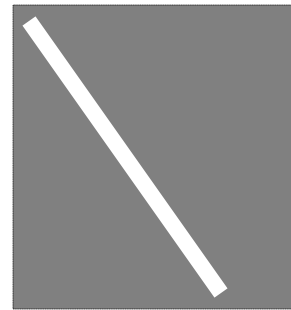
# Images élémentaires



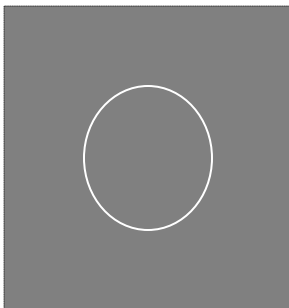
**Bord**



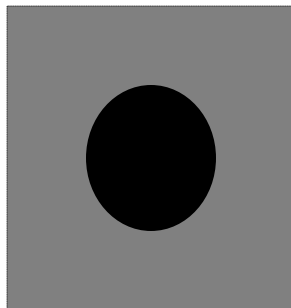
**Ligne**



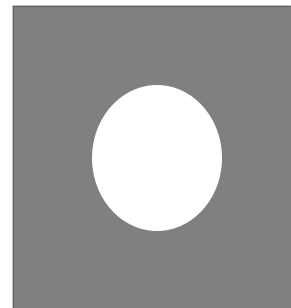
**Bande**



**Cercle**



**Clarté**



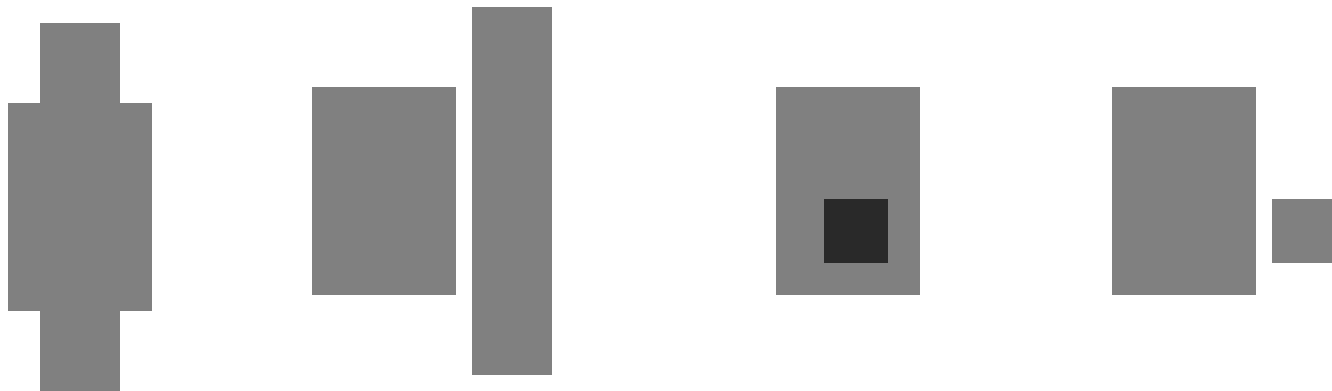
**Opacité**

# Signe de la silhouette

**Face**



**Profil**



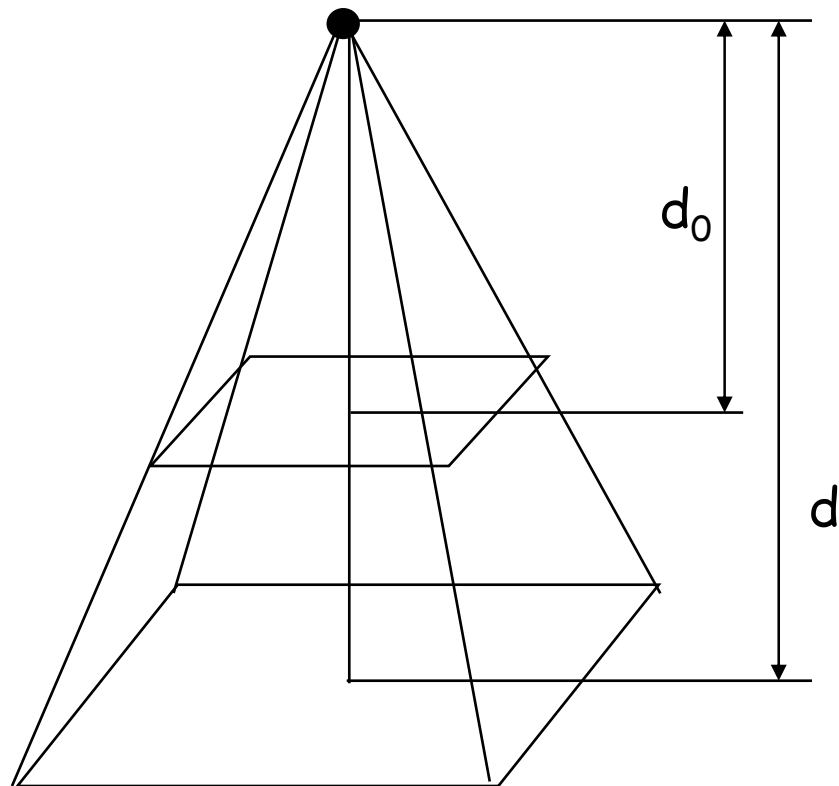
# De quoi dépend la modulation ?

- Puissance émise par le tube  $P_e = \frac{1}{2}k.Z.I.V^2$
- Energie reçue par le détecteur  $E = \frac{1}{2}k.Z.I.V^2t \cdot \frac{1}{4\pi.d^2}$

| Paramètre           | Facteur         | Noircissement |
|---------------------|-----------------|---------------|
| Nombre de photons   | I <i>ou</i> t ↗ | ↗             |
| Energie des photons | V ↗             | ↗             |
| Fluence (E/S)       | d ↗             | ↘             |



# formation géométrique de l'image radiante



# L'équation d'atténuation

L'atténuation dépend de  $\mu$  et  $X$

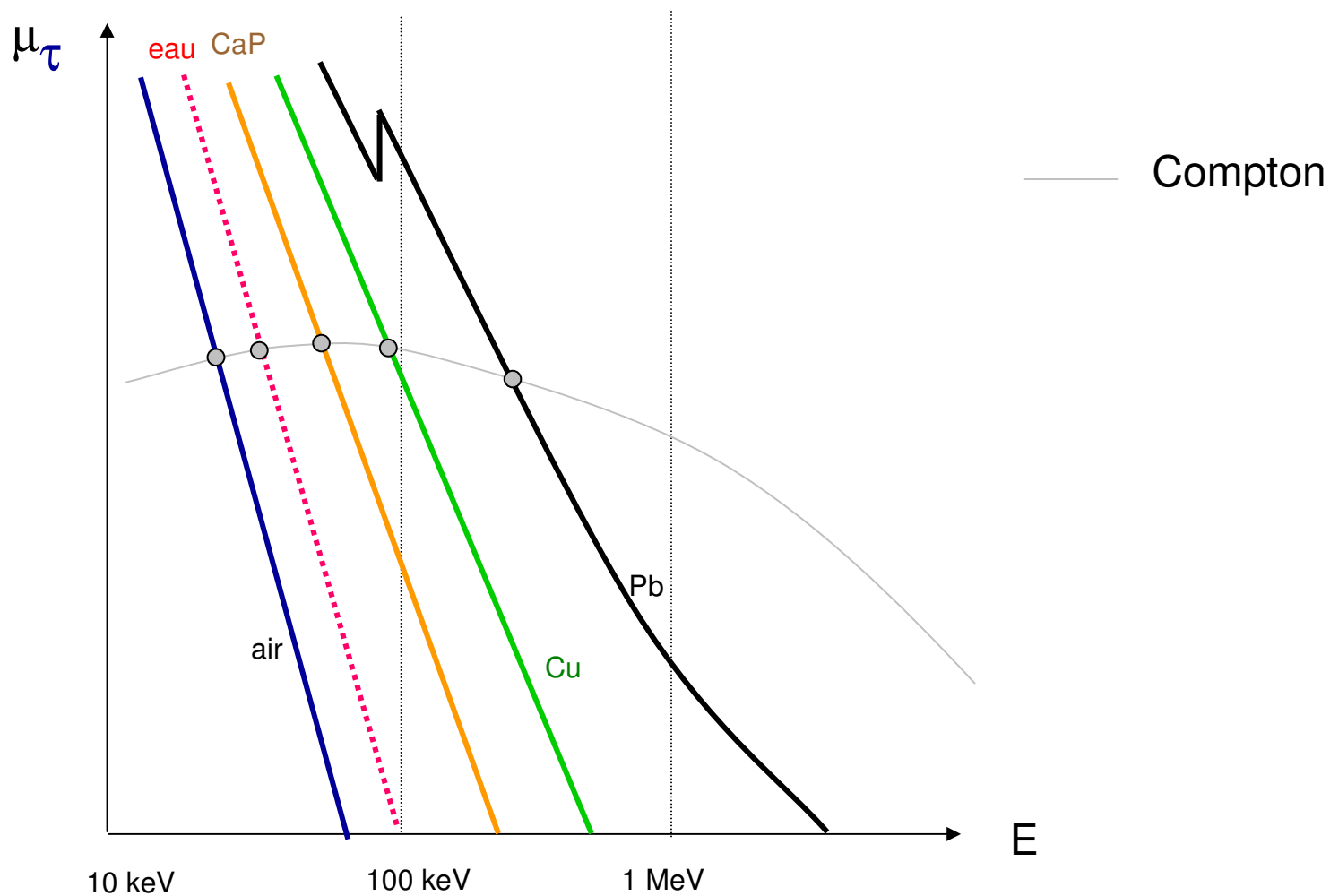
$$I = I_0 \cdot e^{-\mu x}$$

Le noircissement du film est la traduction visuelle des variations locales du facteur d'atténuation.

# Les variations de $\mu$

- Les coefficients d'atténuation :
  - $\mu_{\tau} \propto Z^{4,5} / E^{3,5}$  (*photo-élect.*)
  - $\mu_{\sigma} \propto E$ , varie peu avec  $Z$  (*Compton*)
- Les principaux milieux :
  - les os (sternum, côtes et rachis)
  - les tissus mous et le sang (équivalents à l'eau)
  - l'air dans les voies respiratoires

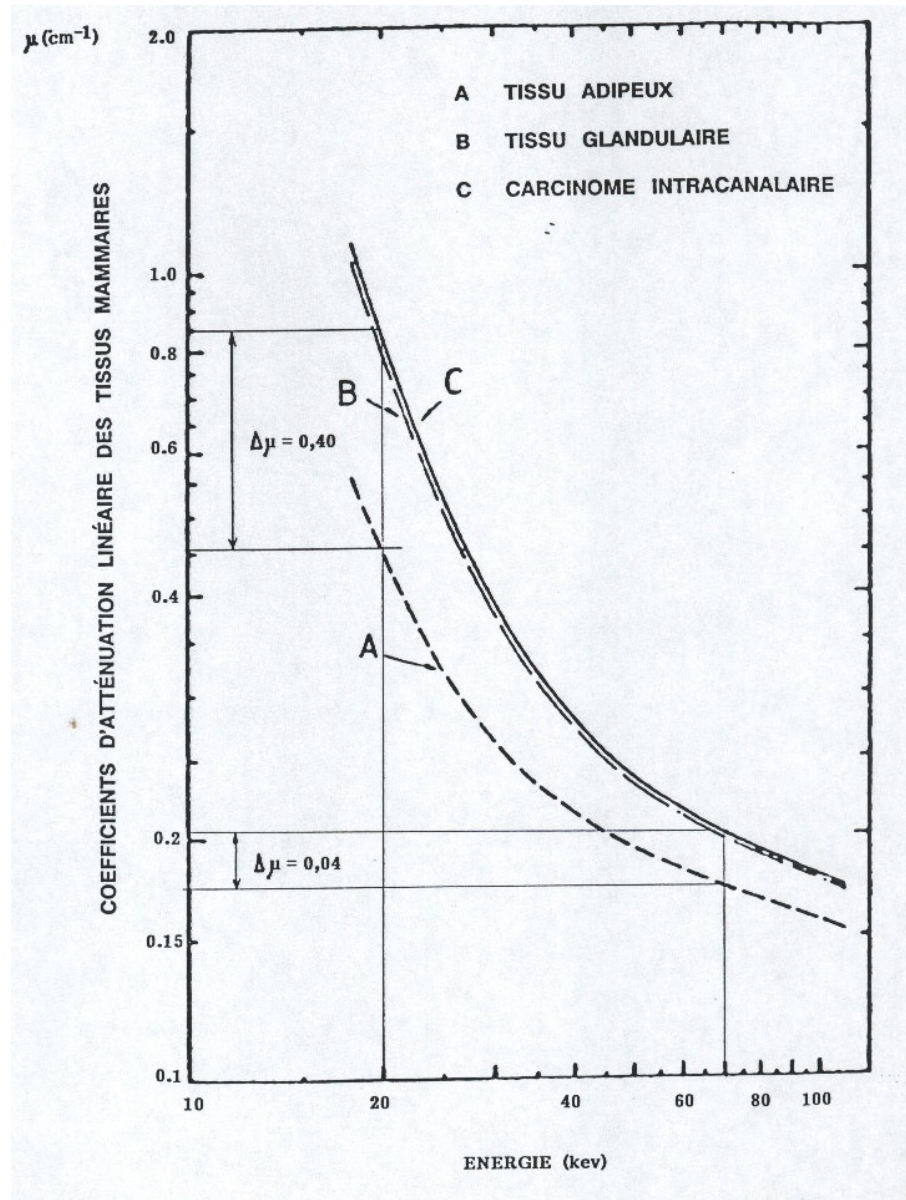
# Courbes de $\mu_\tau$ selon Z



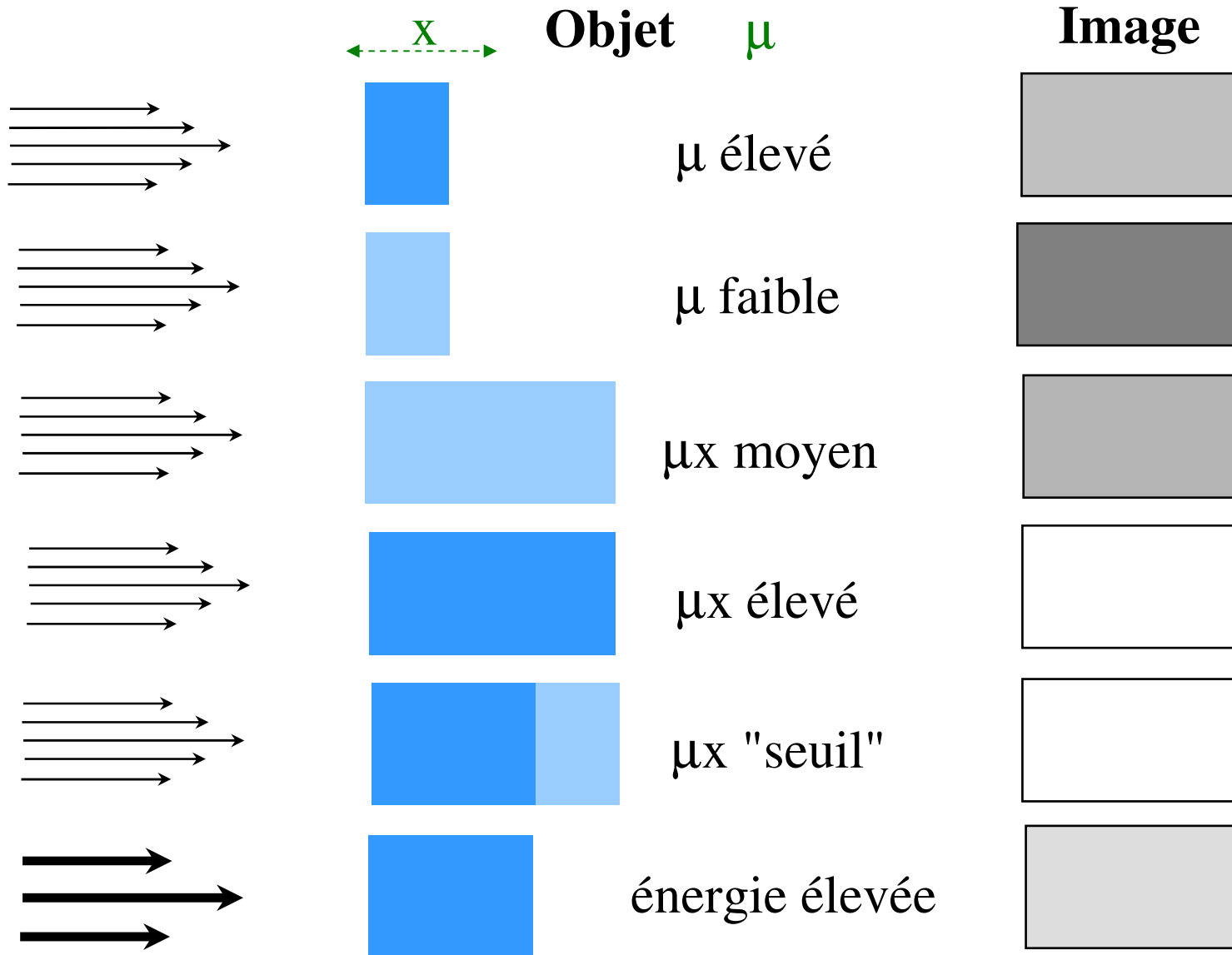
# Atténuation globale

| Energie(keV) | $\mu/\rho$ Tissu mou                                  | $\mu/\rho$ Os   |
|--------------|---|---|
| 40           | $24,5 \cdot 10^{-3} \text{ m}^2 \cdot \text{kg}^{-1}$ | $54,1 \cdot 10^{-3} \text{ m}^2 \cdot \text{kg}^{-1}$ |
| 100          | $16,7 \cdot 10^{-3} \text{ m}^2 \cdot \text{kg}^{-1}$ | $17,5 \cdot 10^{-3} \text{ m}^2 \cdot \text{kg}^{-1}$ |
| 400          | $10,6 \cdot 10^{-3} \text{ m}^2 \cdot \text{kg}^{-1}$ | $10,2 \cdot 10^{-3} \text{ m}^2 \cdot \text{kg}^{-1}$ |

# influence de E sur le contraste

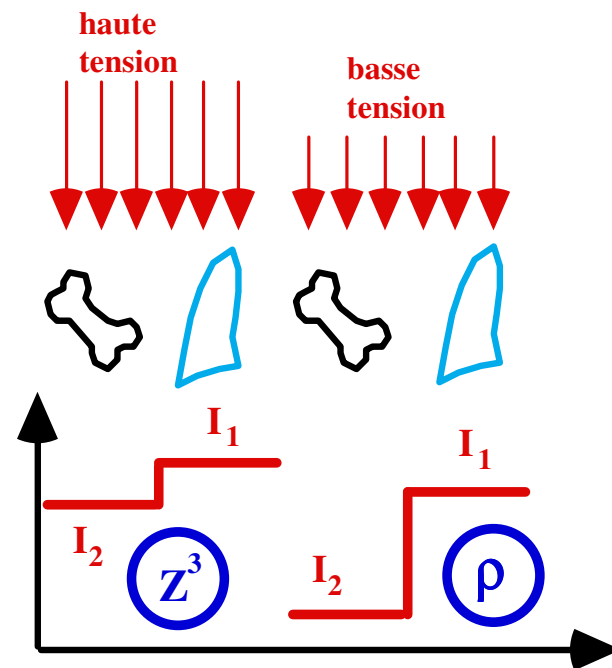
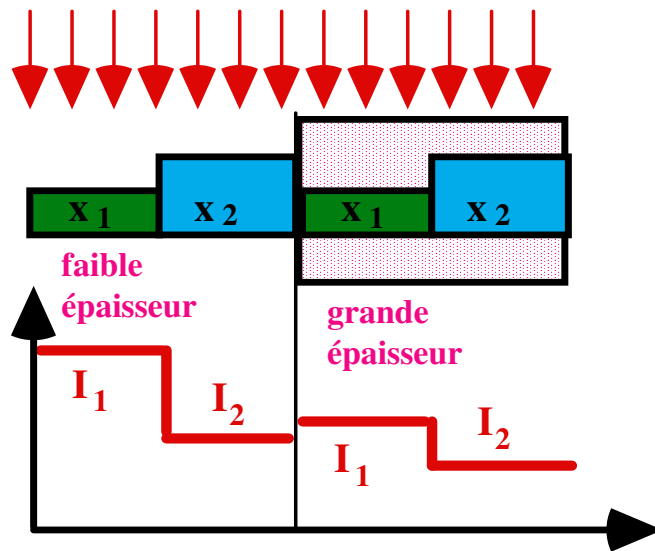


# Influence de $\mu$ , $x$ et E



# Contraste entre 2 objets

- Différence épaisseur et  $Z$
- Épaisseur totale traversée : compression
- Prédominance épaisseur /  $Z$  selon KV
- Diffusé





# Clichés radiologiques standards



Normal

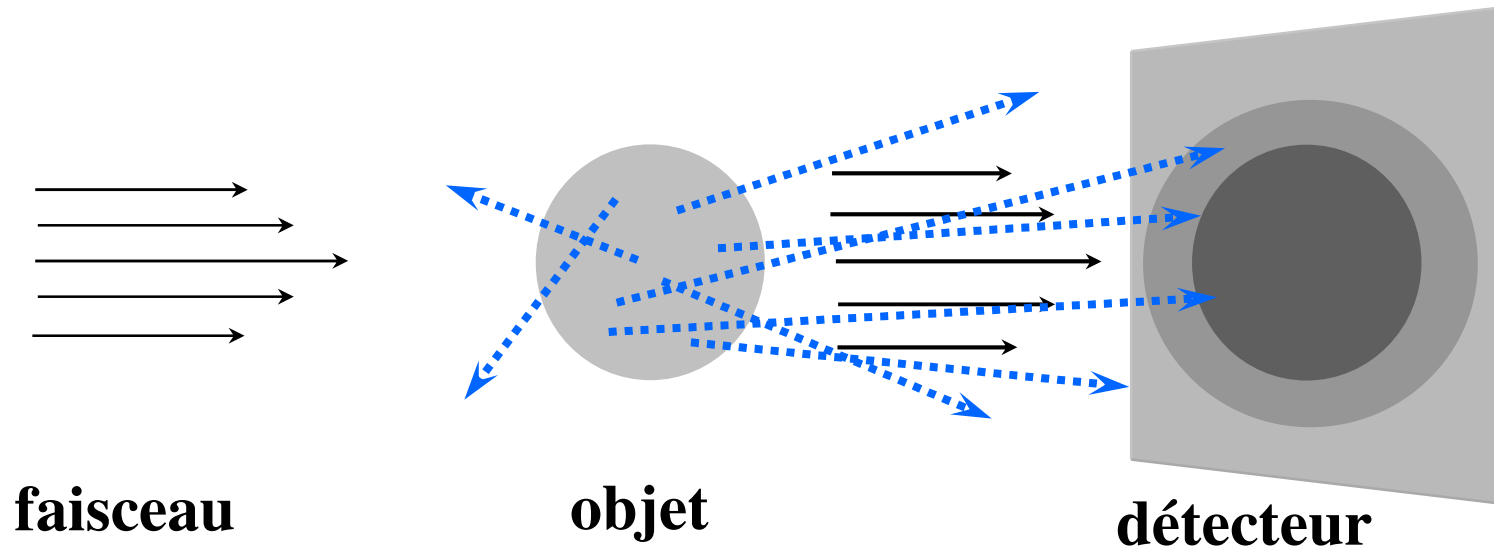


Pathologique

# Dégradation de l'image

# le rayonnement diffusé

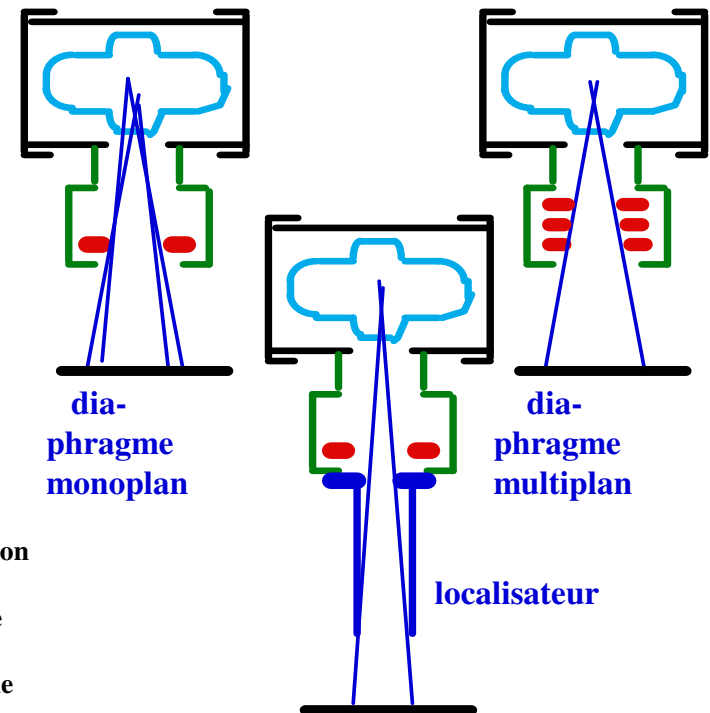
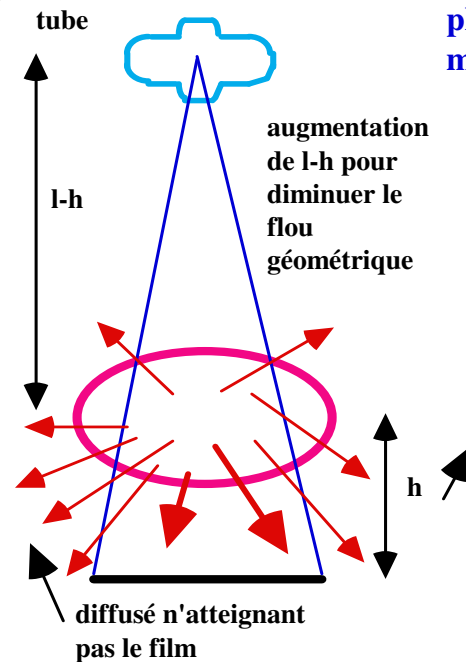
**Lié à l'effet Compton**



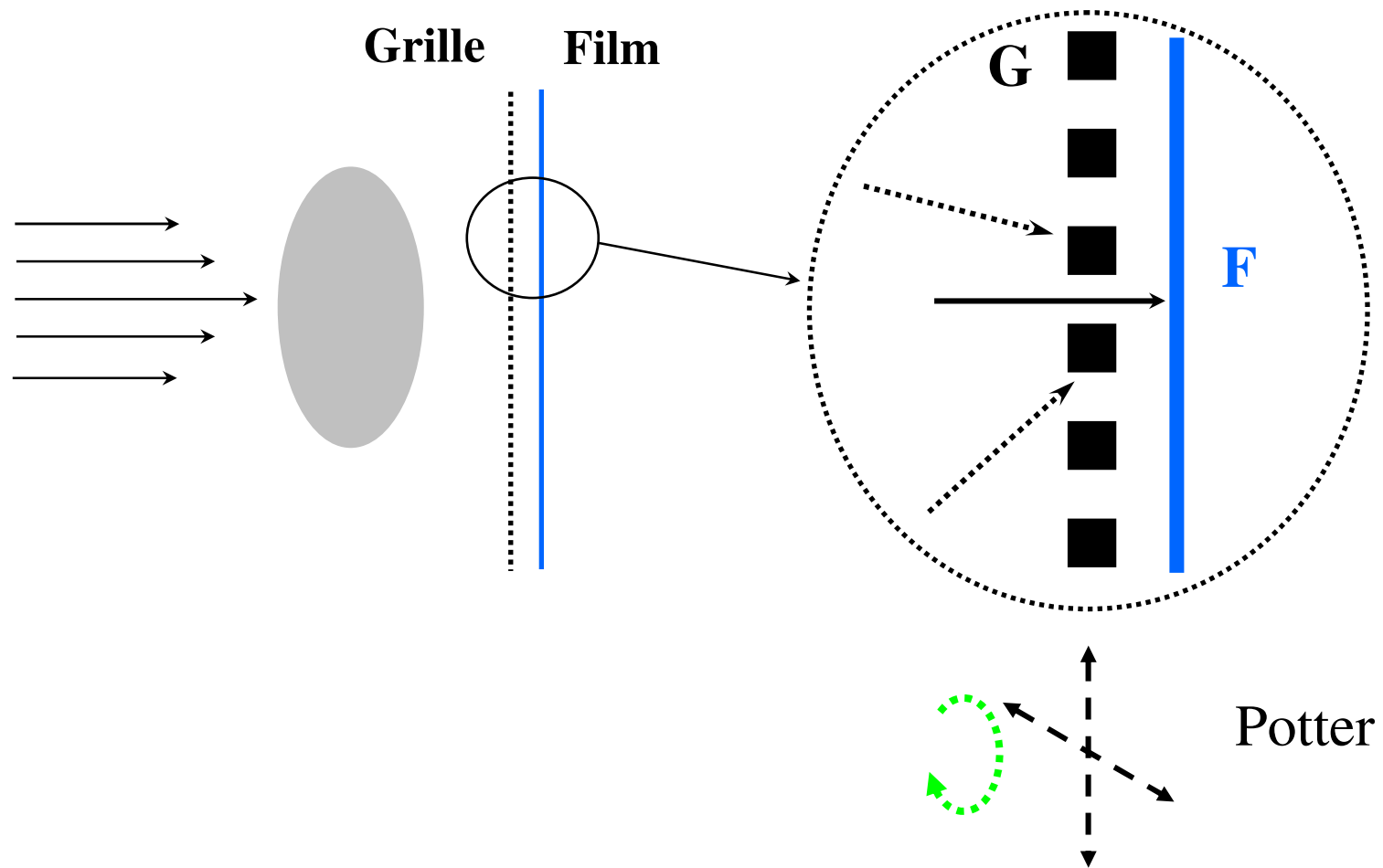
# diffusé

- Source = objet radiographié
- Dans toutes les directions
- Baisse le contraste

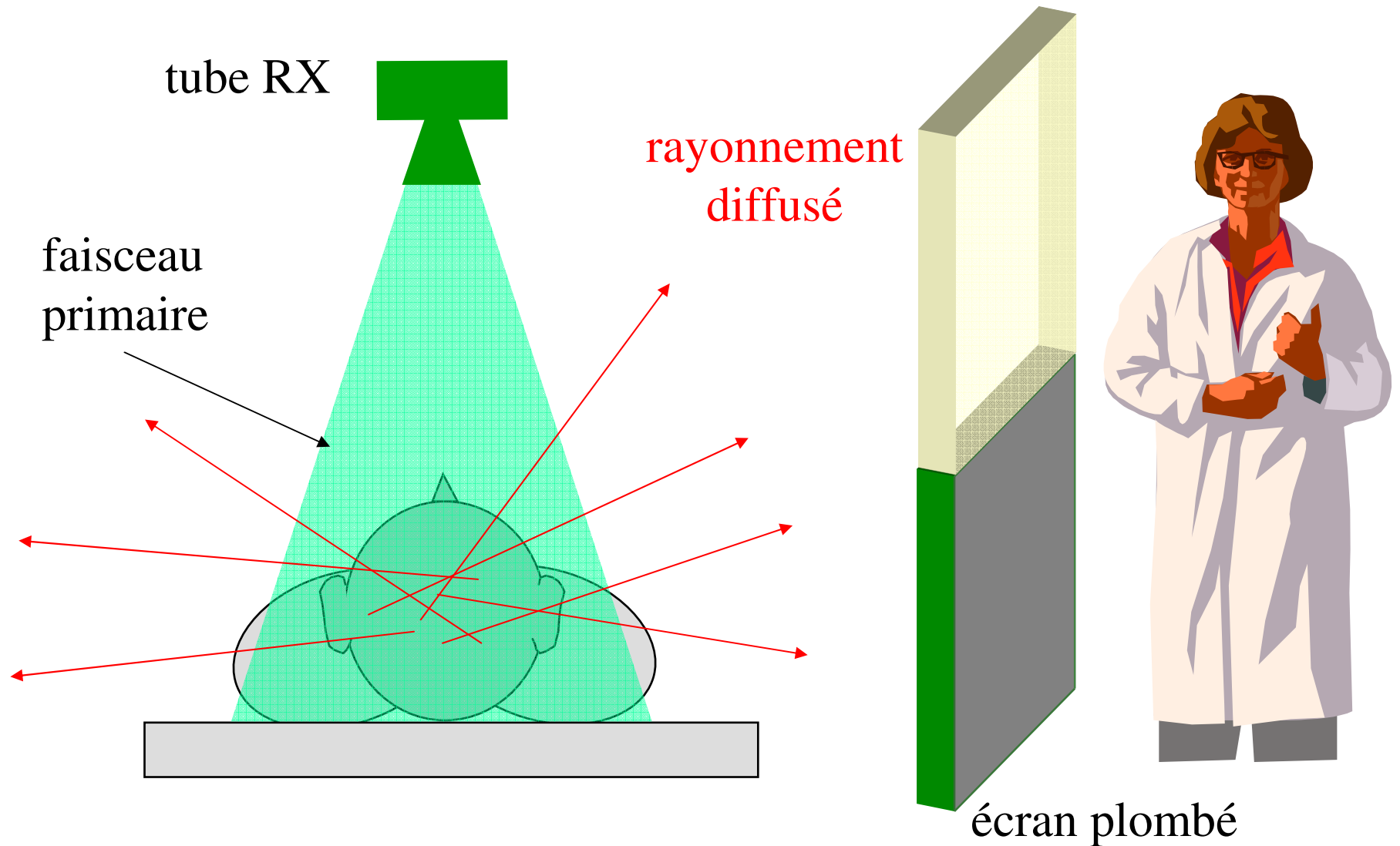
- Augmente avec :
  - énergie
  - section
  - épaisseur



# solution : la grille anti-diffusante



# Le diffusé et le radiologue



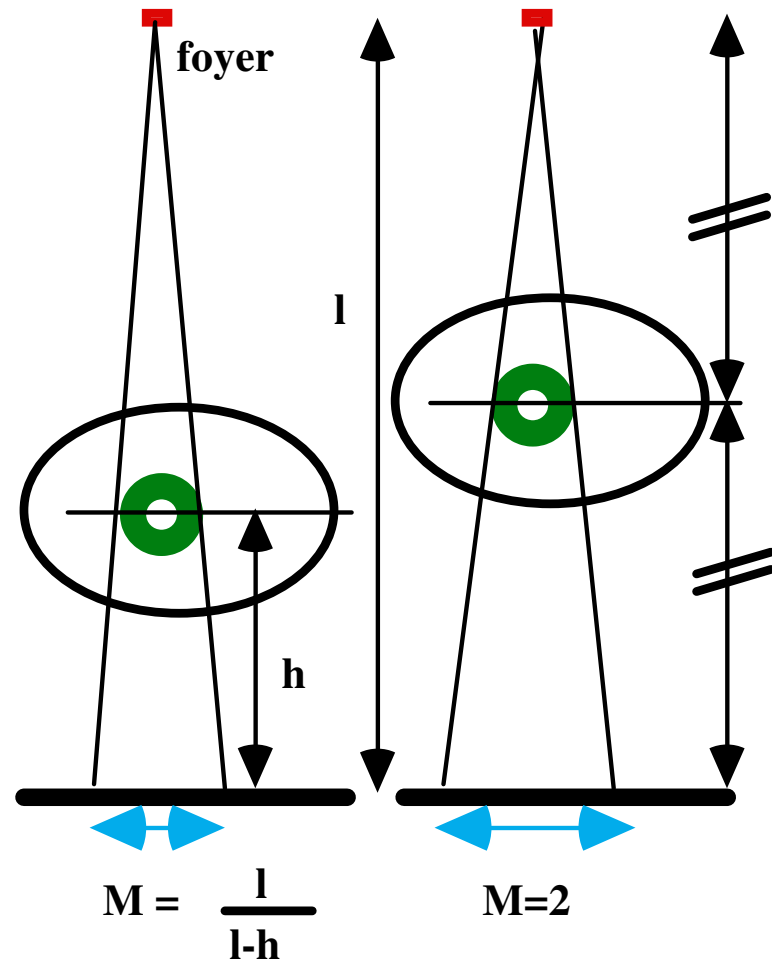
# Facteurs géométriques

- Agrandissement

avec  $M$ =coefficient de magnification

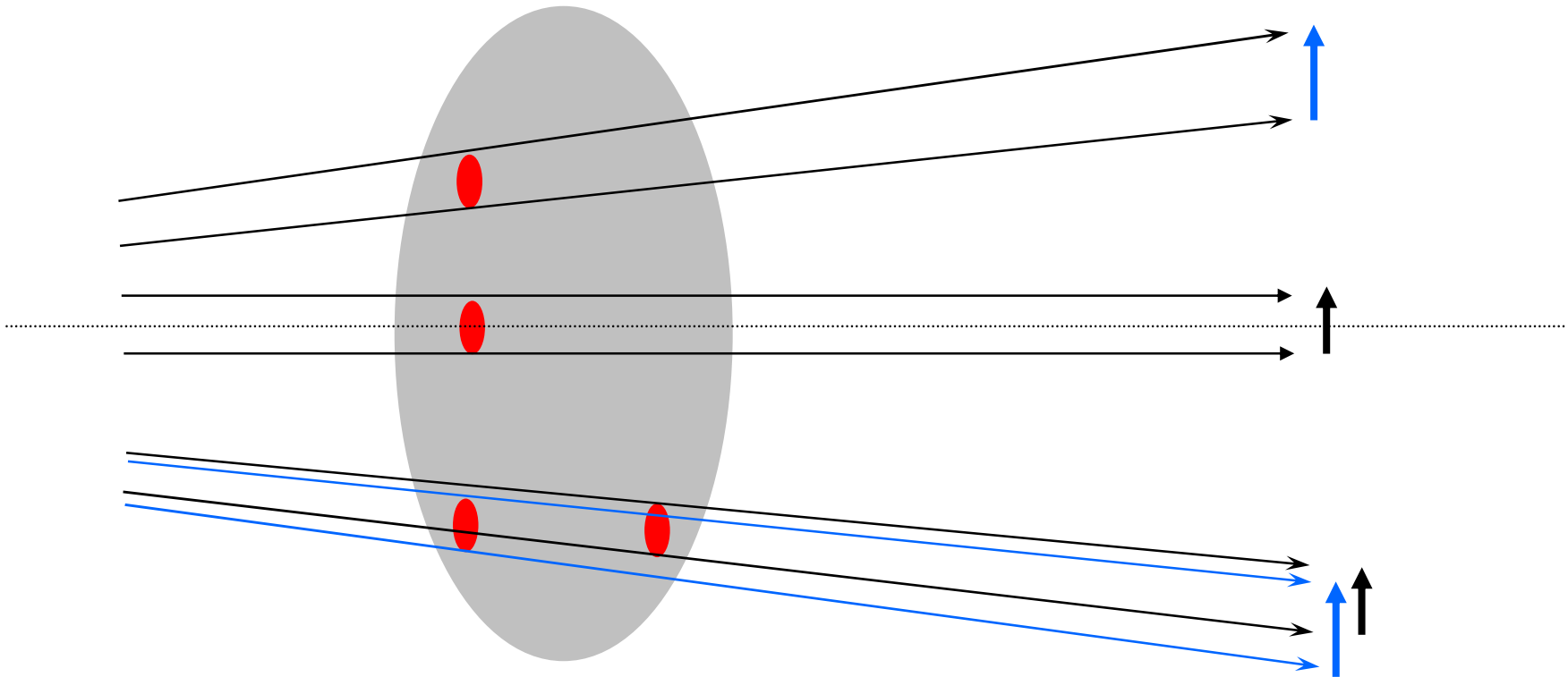
$l$ =distance foyer-film

$h$ =foyer structure-film



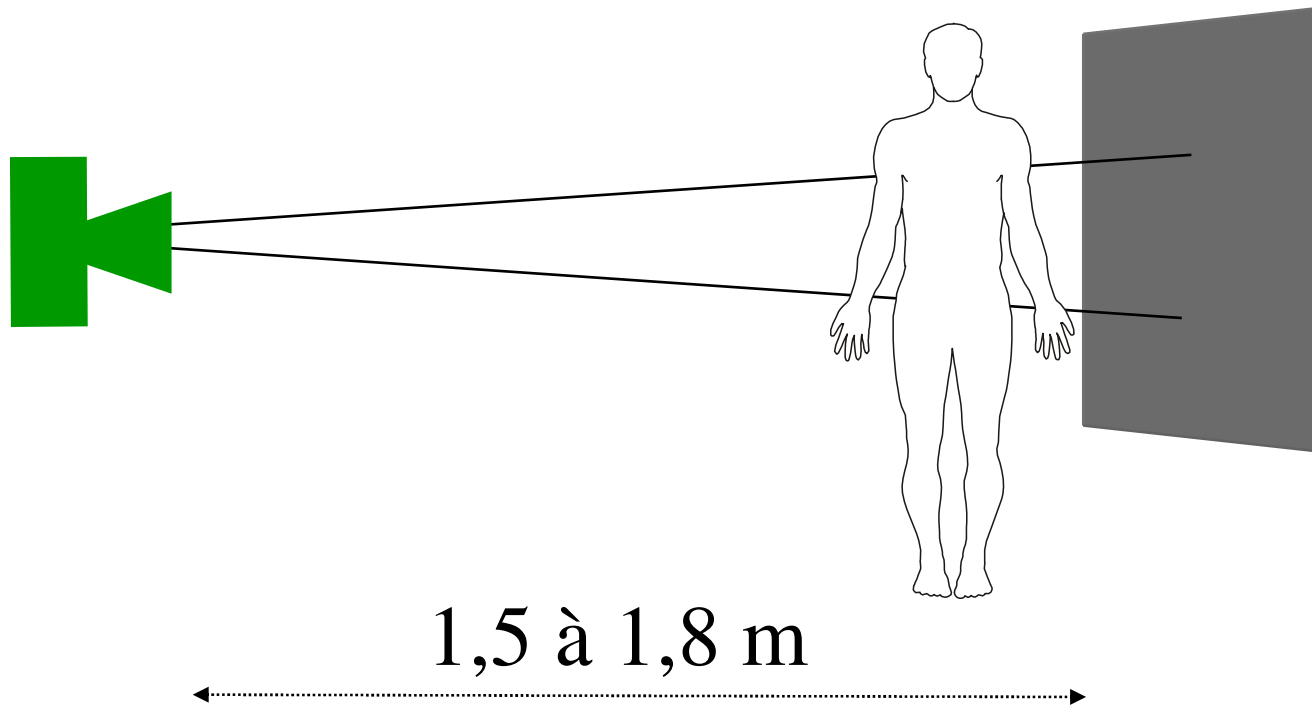
# Dégradation de l'image :

- agrandissement  $\Rightarrow$  déformation





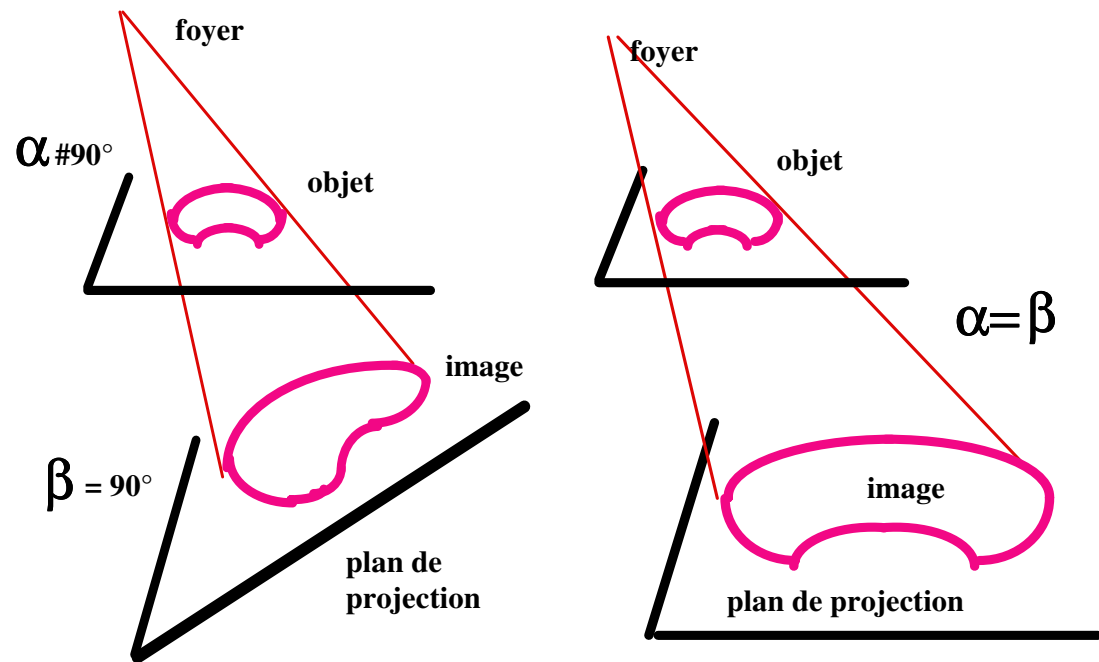
**solution : distance source-patient**



faisceau pratiquement parallèle

# Facteurs géométriques

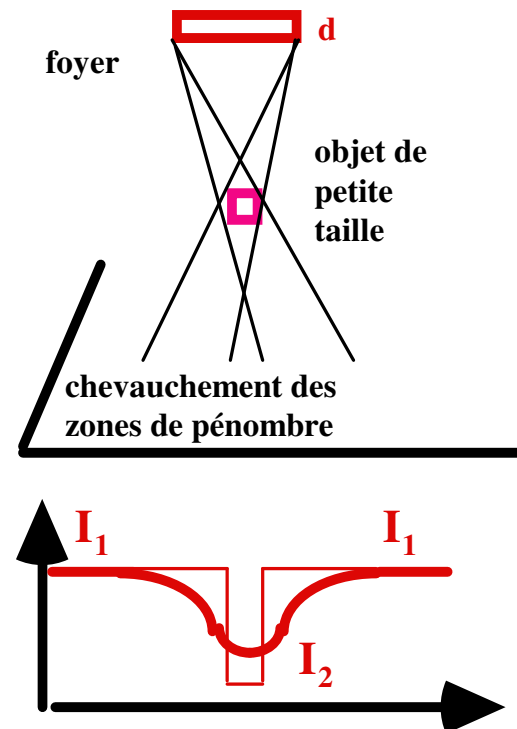
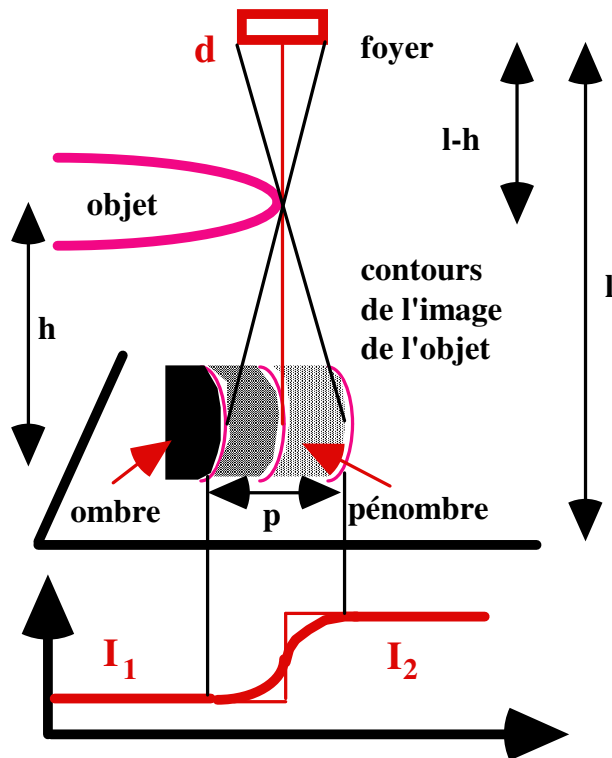
- Déformation



La cassette doit rester parallèle à l'objet radiographié

# Facteurs géométriques

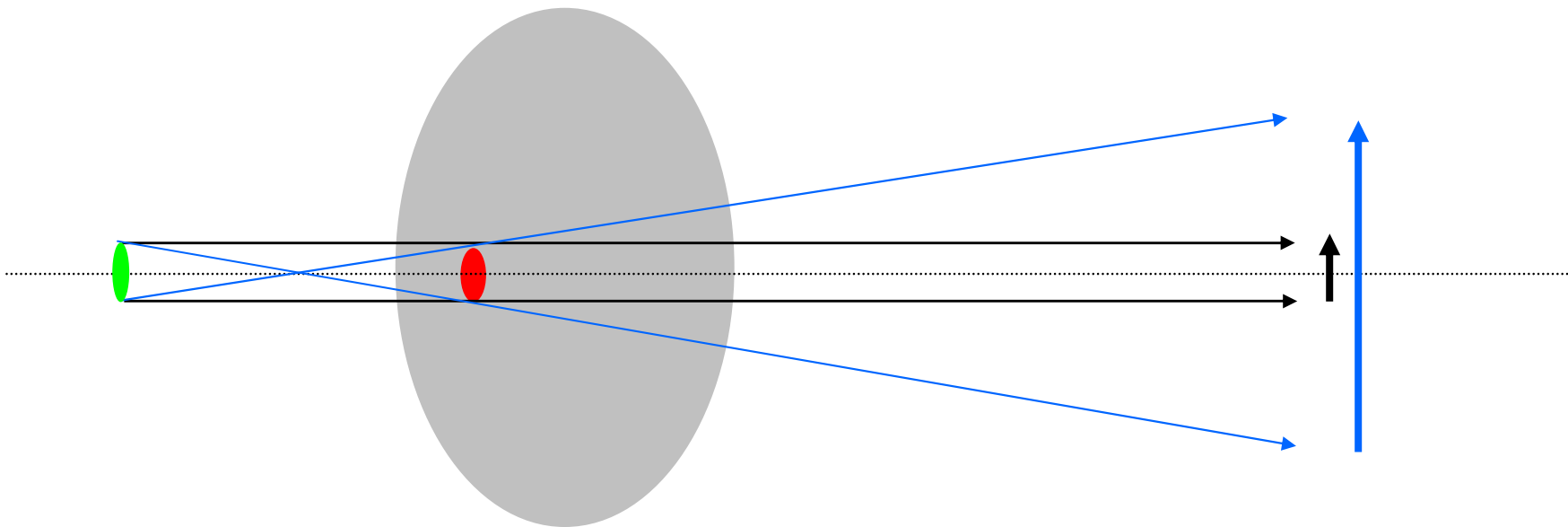
- Flou géométrique (de foyer)



Diminué si petit foyer,  $l$  grand et  $h$  petit

# la perte de résolution

- taille de la source de rayons X



*résolution actuelle  $\approx 1 \text{ mm}$*

- **Solutions :**
  - contrôle de qualité de l'anode, anode tournante...
  - nouveaux procédés : laser haute énergie

# Facteurs géométriques

- Flou cinétique

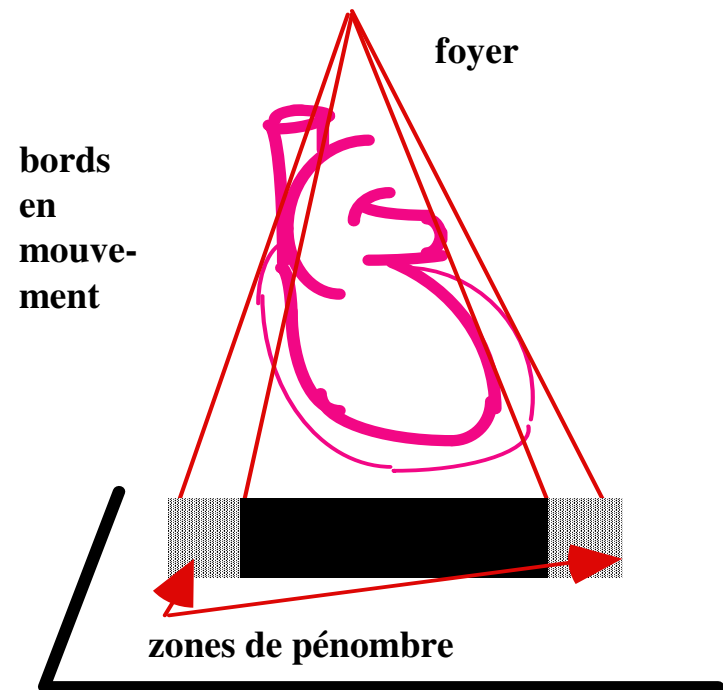
Vitesse maximale des bords du cœur = 40 cm/s

Si temps pose = 1/100ème s

Alors flou = 4mm

Donc :

- immobilité
- temps de pose court
- diminution objet-film



# le flou

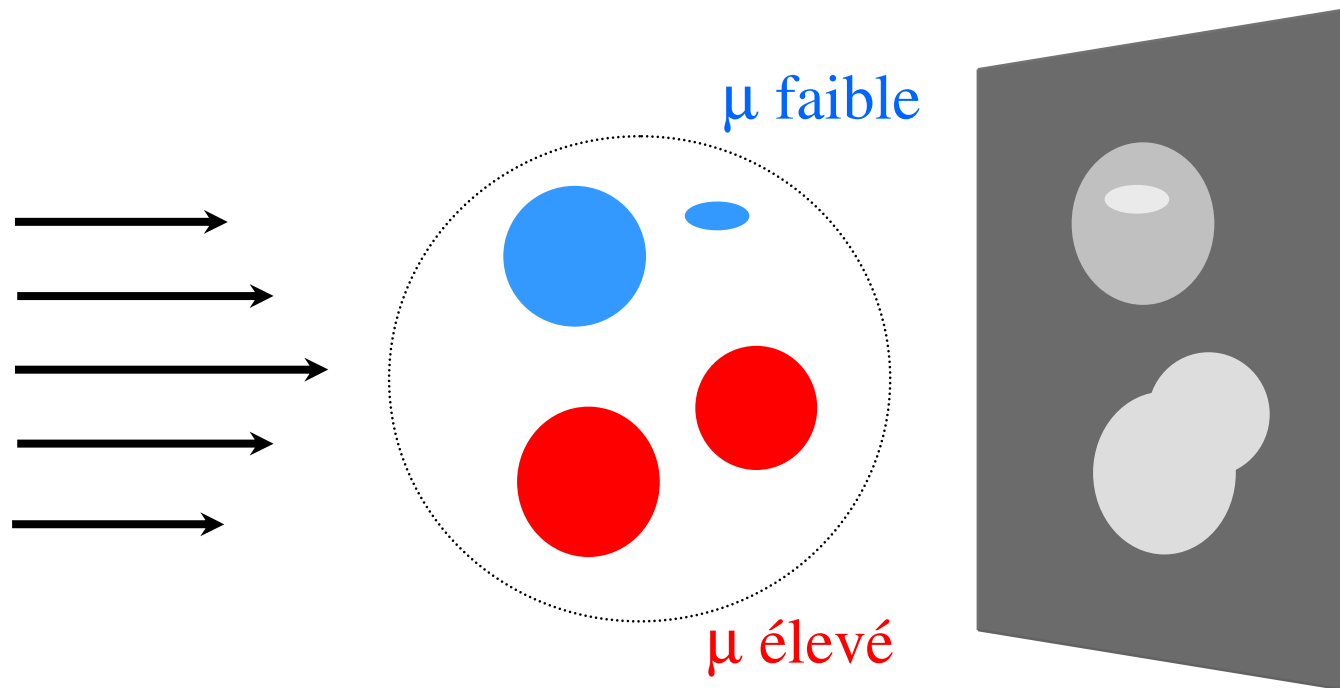
- le flou dynamique affecte :
  - Le cœur
  - Les poumons

## ***Solutions :***

- *immobilisation - apnée*
- *courte durée de prise d'image (1/10<sup>e</sup> de seconde)*
- *séquence rapide de clichés : 50 à 100 images/s*
- *synchronisation*

# les superpositions

- "addition" de l'atténuation



- *Solutions :*
  - clichés de profils - positionnement du patient
  - compression (ballon...)

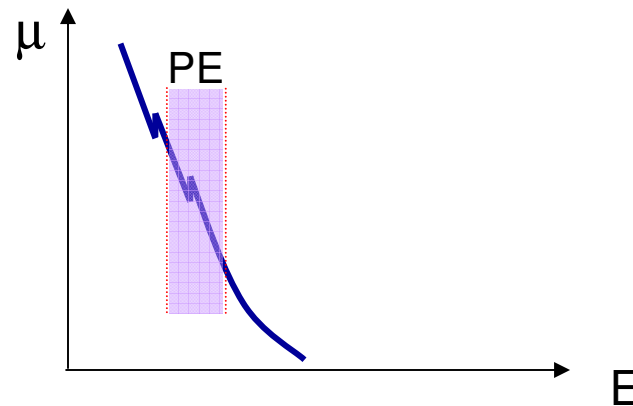
# Les problèmes de dosimétrie

- La Directive Européenne 97-43 « patient »
  - optimisation
    - réduction de la dose délivrée au patient
    - respect de la qualité nécessaire pour l'interprétation
  - justification
    - respect des guides de bonne pratique et des SOR
- Comment réduire l'irradiation sans nuire à la qualité de l'image ?
  - Utilisation des filtres
  - ↑ la sensibilité de détection: ampli. de luminance...



# L'utilisation de filtres

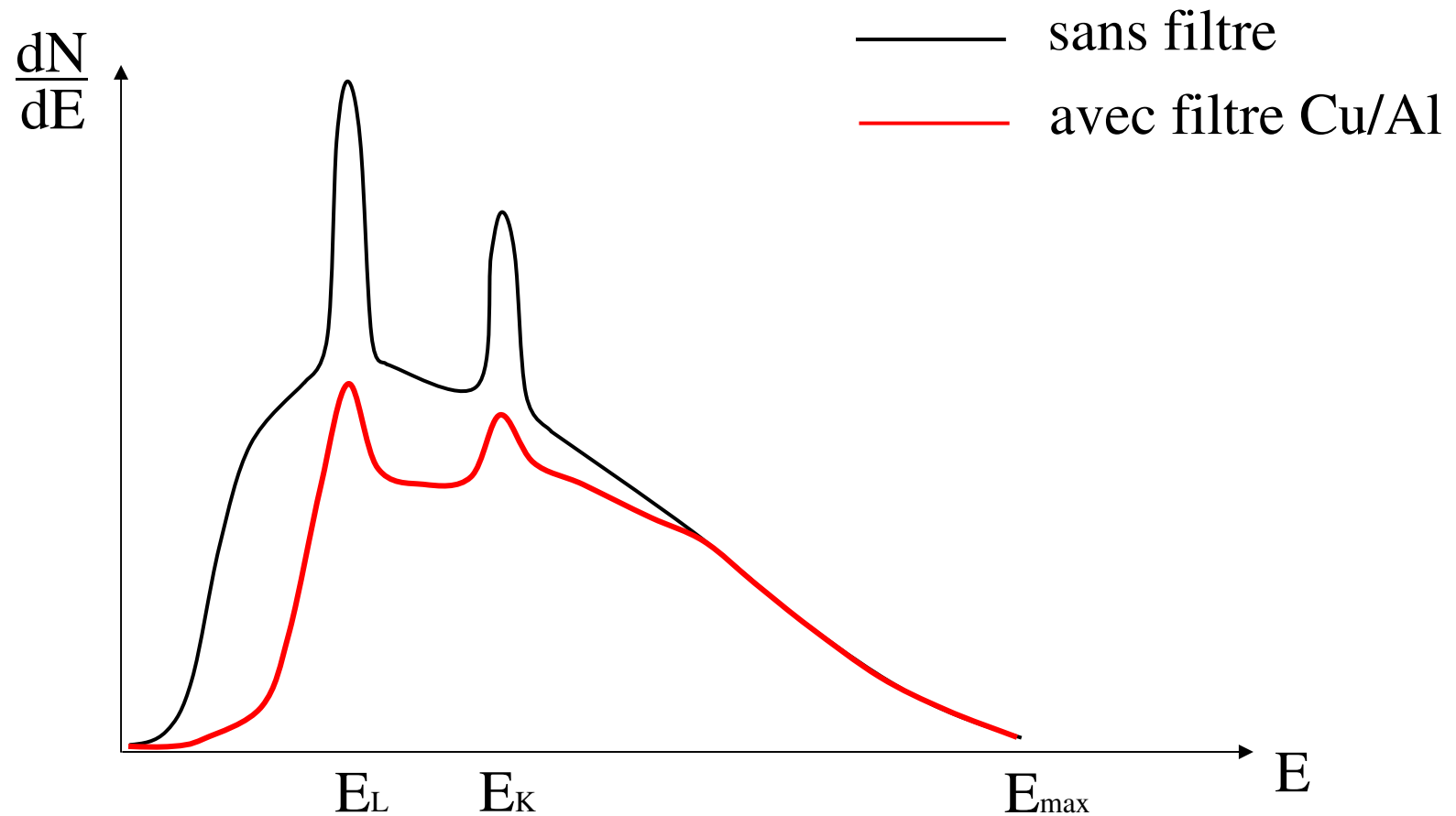
- L'interaction « utile » à l'image radiologique :  
l'effet photo-électrique
- La dose délivrée dépend de l'énergie
  - trop forte, elle favorise le diffusé (zone Compton)
  - trop faible, elle est complètement absorbée
- Se situer dans la partie médiane de la courbe de  $\mu_{\tau}$



# Les filtres métalliques

- on les interpose entre le tube et le patient
- plaques de cuivre et/ou d'aluminium
- d'épaisseur variable
- arrêtent surtout les basses énergies
- modifient la forme du spectre des rayons X
- entraînent le « durcissement » du faisceau.

# Modification du spectre



# doses typiques de différents examens radiologiques

| Examen            | Doses typiques en mGy | Niveau de référence européen |
|-------------------|-----------------------|------------------------------|
| Poumon            | 0,25 - 0,50           | 0,3                          |
| Bassin            | 6 - 10                | 10                           |
| Cervical (face)   | 0,5 - 4               | -                            |
| Rein              | 4 - 10                | -                            |
| Lombaire (profil) | 8 - 22                | 30                           |
| Sein              | 1 – 5 (?)             |                              |
| Scanner X         | 5 – 20 (?)            |                              |

D'après mesures IRSN 1999 (source : rapport scientifique et technique 2002 de l'IRSN)

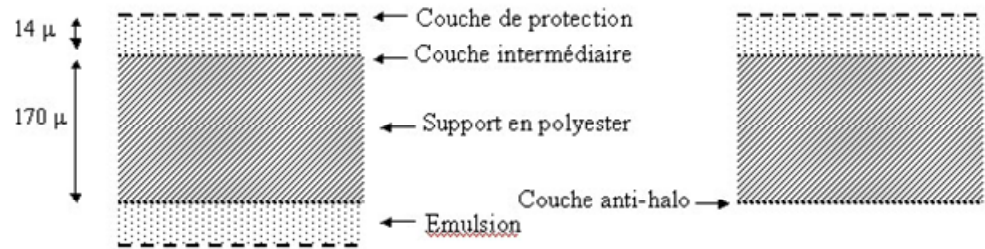
Sauf chiffres Sein et scanner X à valider

# Différents détecteurs

- Film radio
  - Écran de brillance
  - Plaques « phosphore »
  - Détecteurs plan
- }  $\Rightarrow$  *numérisation*

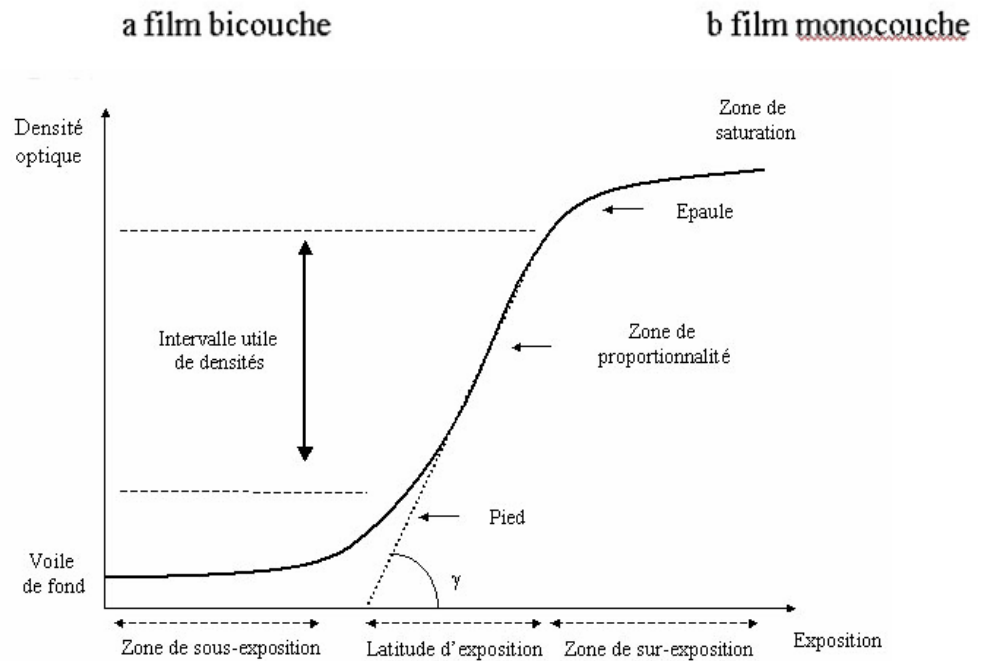
# Systemes film-écran

- Structure

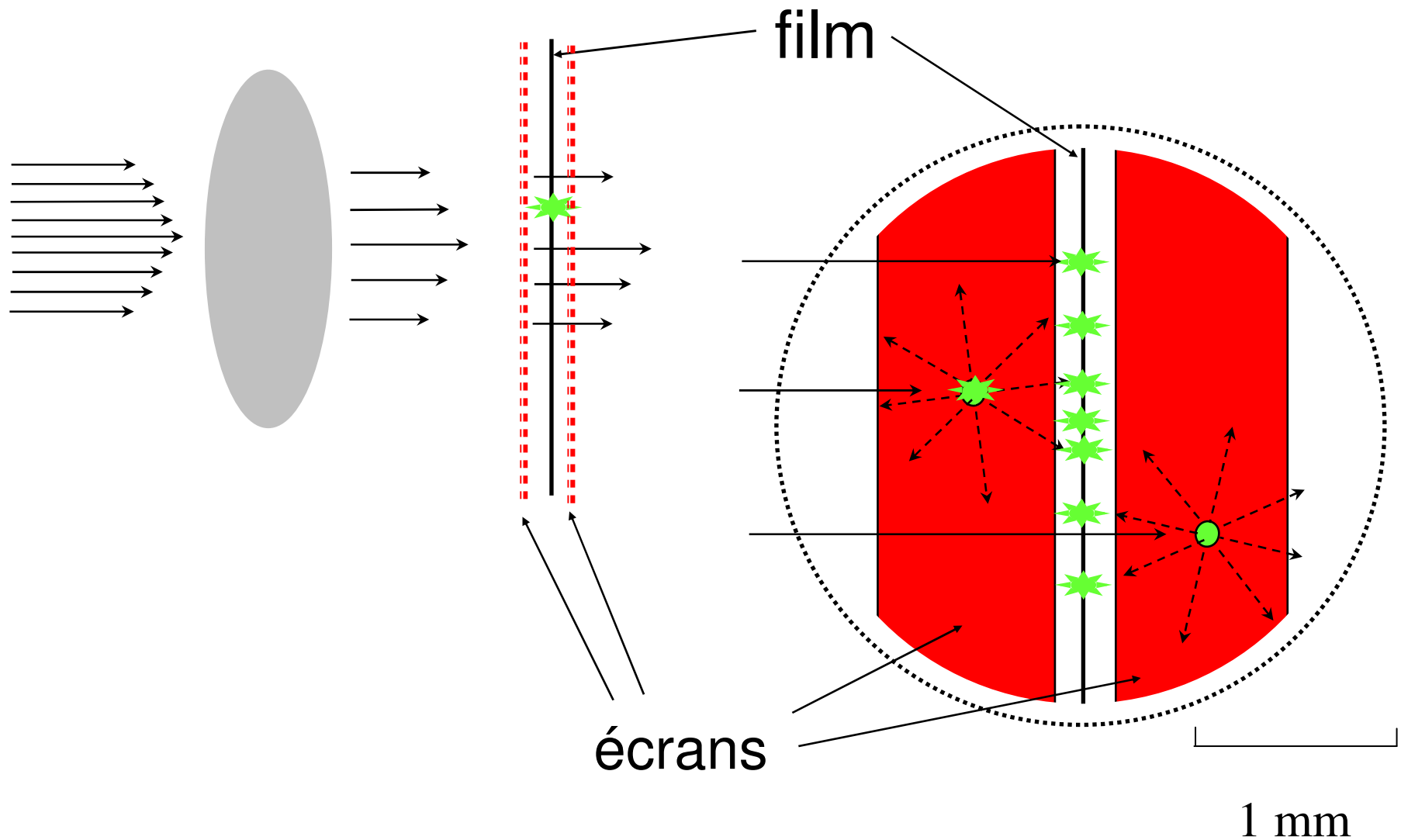


- Réponse

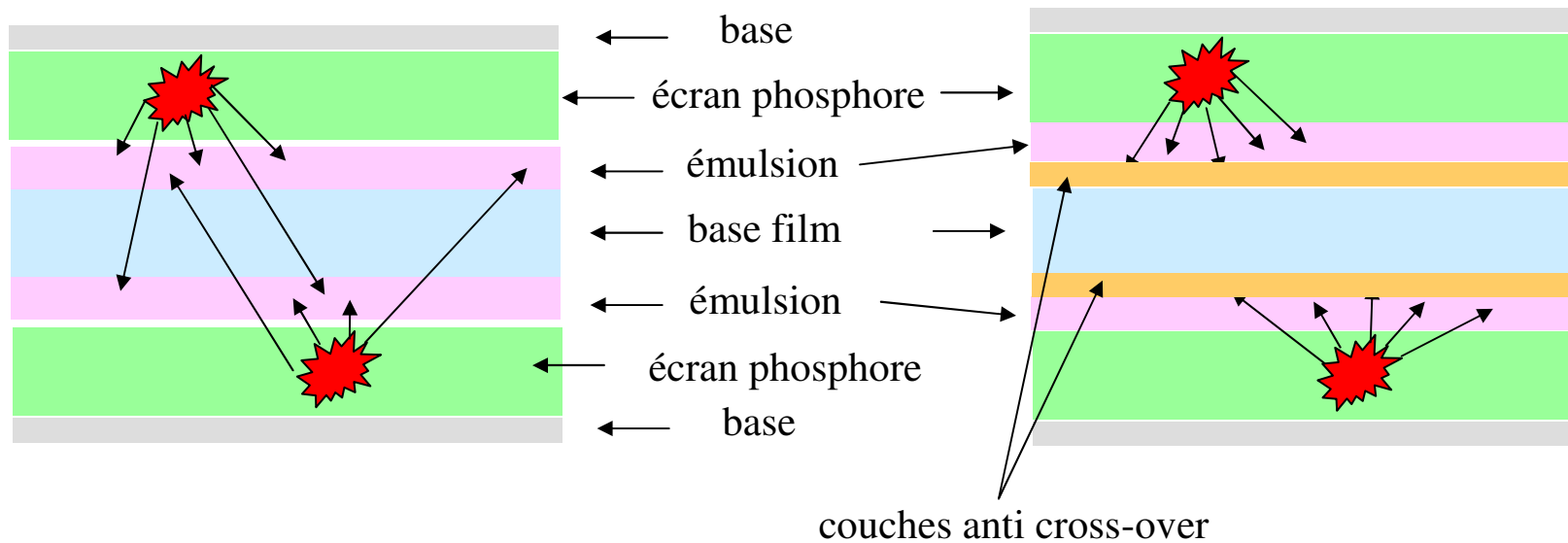
- voile de base
- pied
- proportionnelle
- épaule
- saturation



# Améliorer la sensibilité : l'écran renforceur



# Systemes film-écran

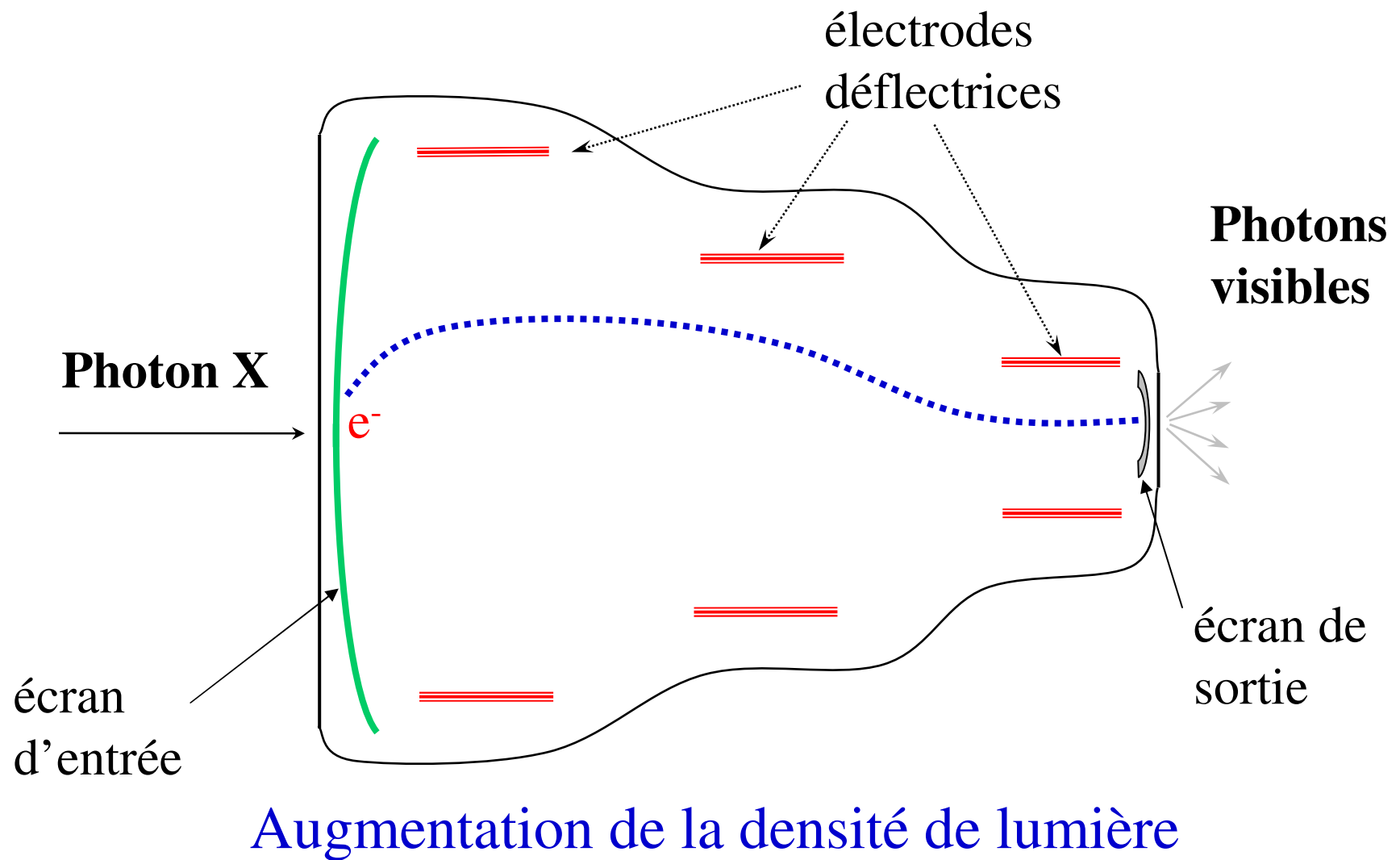


Film conventionnel

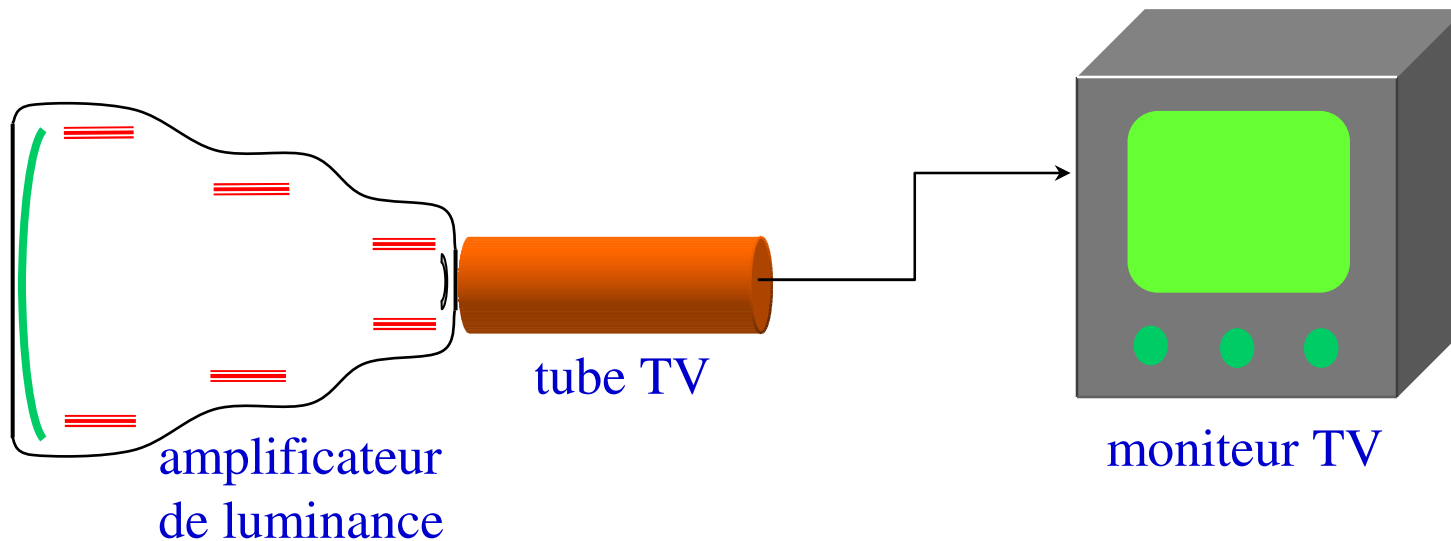
Amélioration



# L'amplificateur de luminance

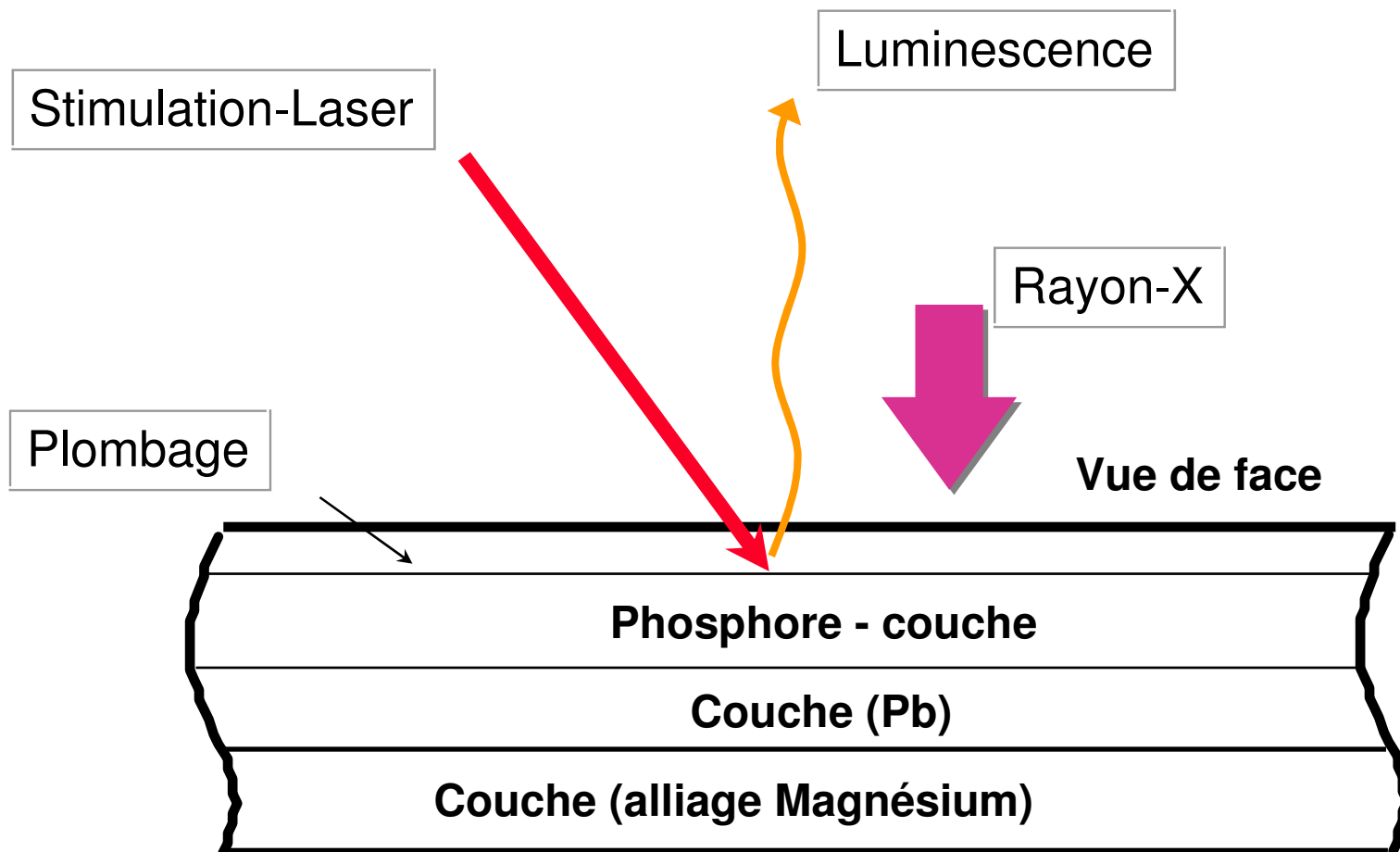


# La radiologie télévisée



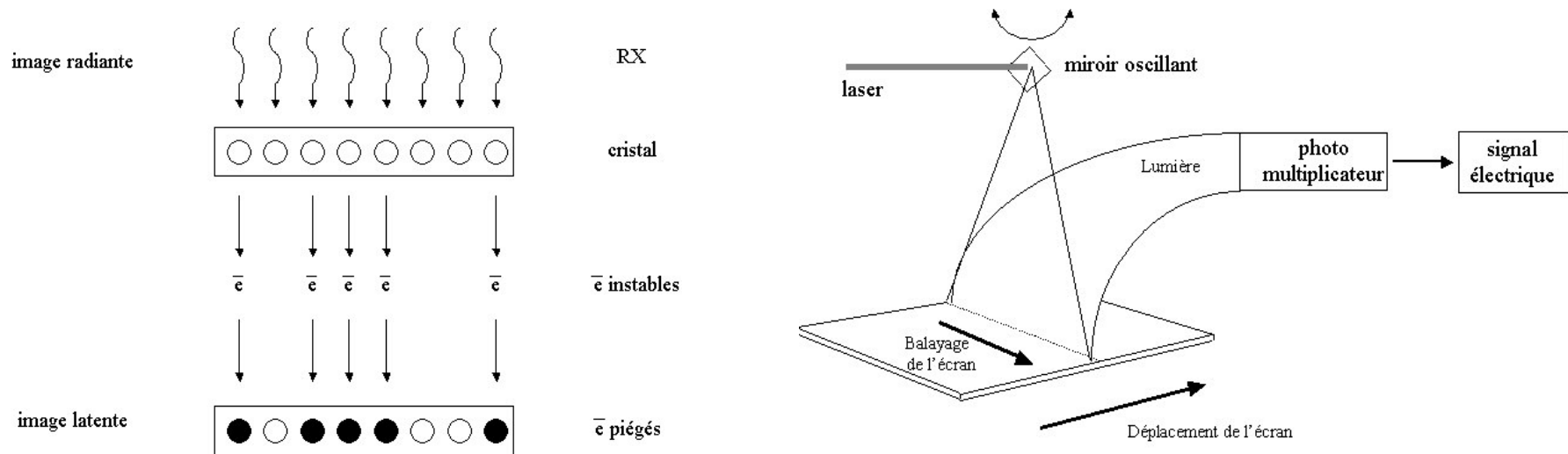
- Réduction importante de la dose délivrée
- Amélioration du positionnement
- Champ réduit, limitation de la résolution spatiale
- Facilite la radiologie interventionnelle

# Plaque photostimulée

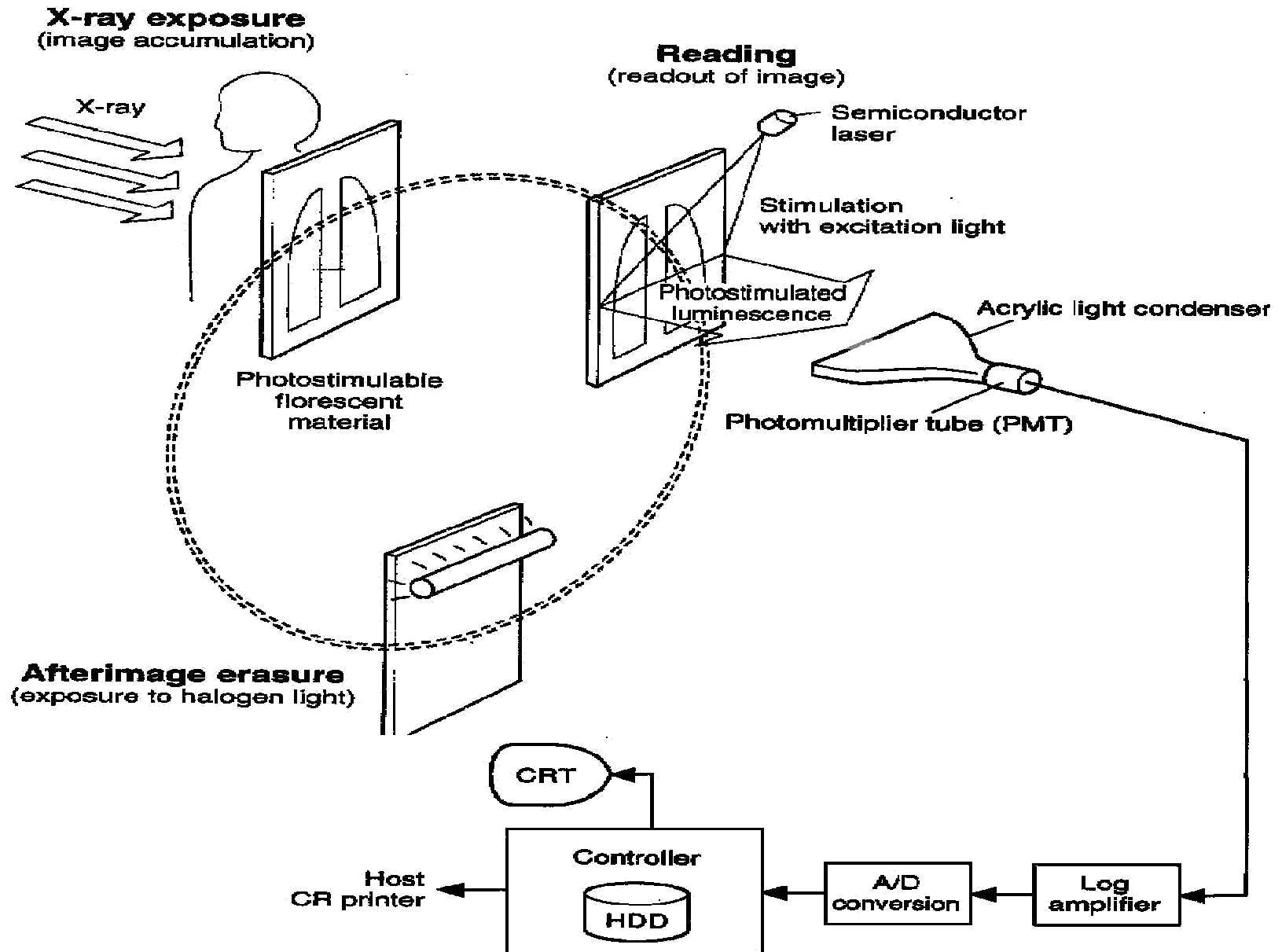


# Capteur : plaques

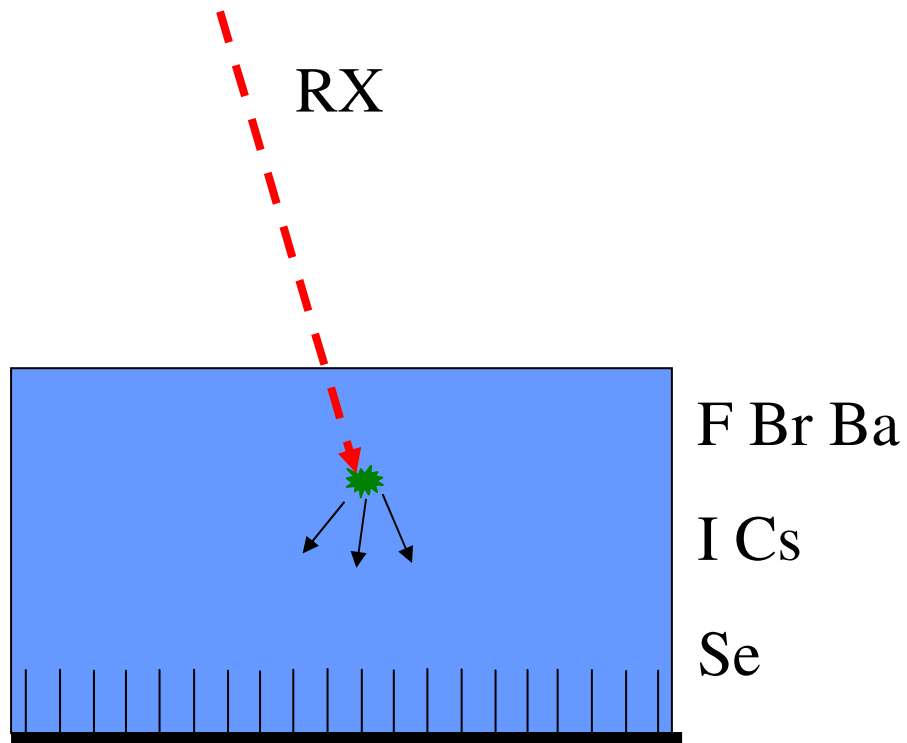
- Plaques électroluminescentes ou photostimulables



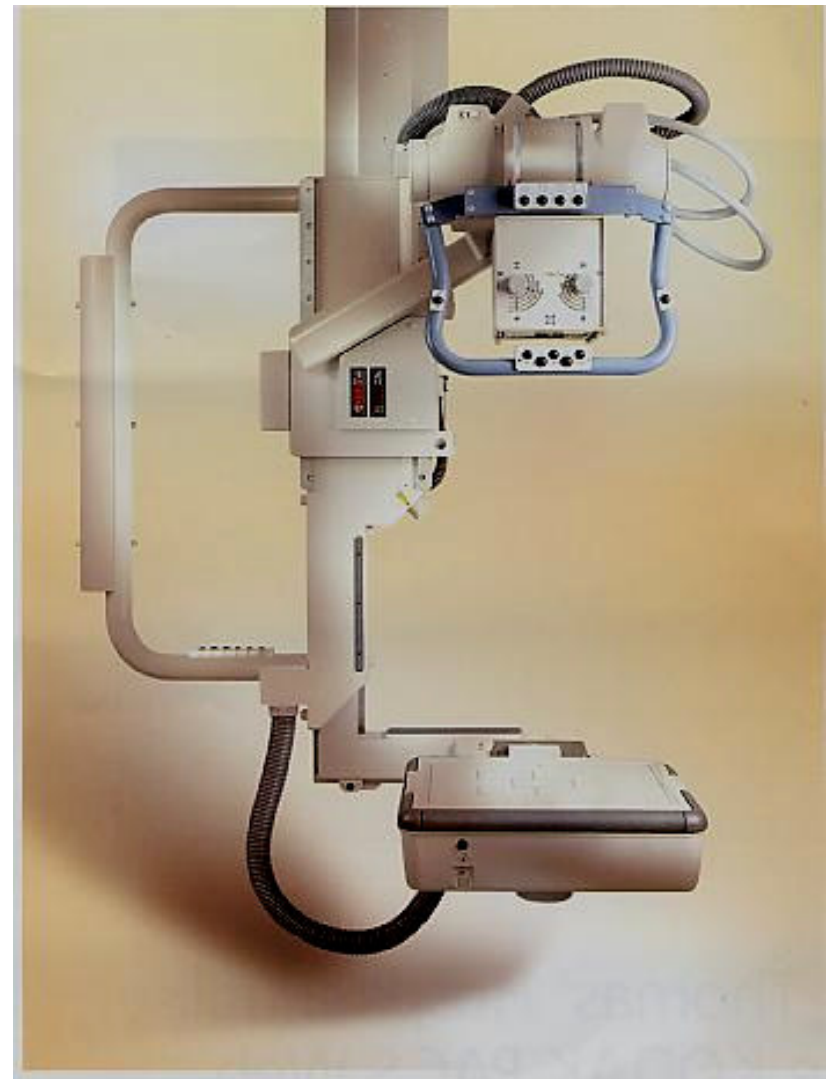
# Luminescence Photo-stimulée



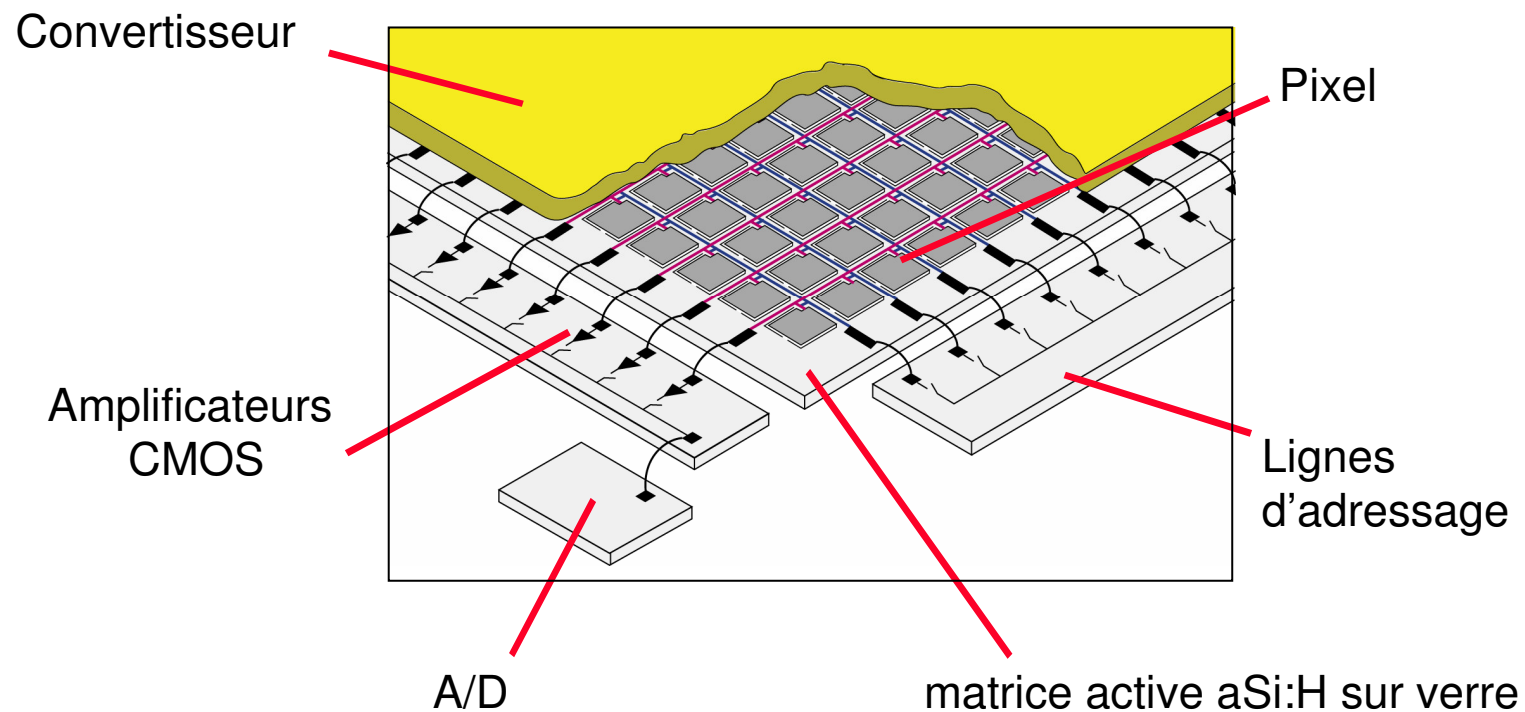
# Le capteur RX numérique



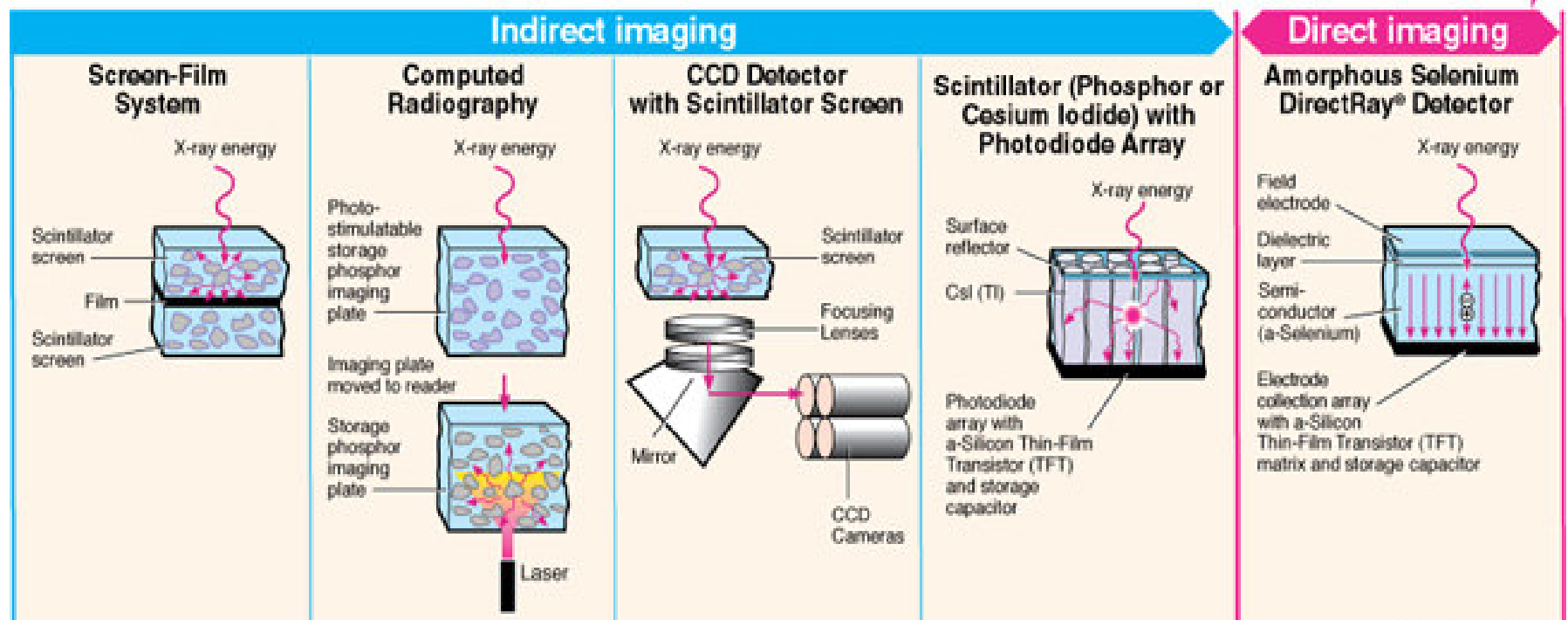
Lecture directe par laser  
ou matrice de transistors



## schéma de principe d'un FXD



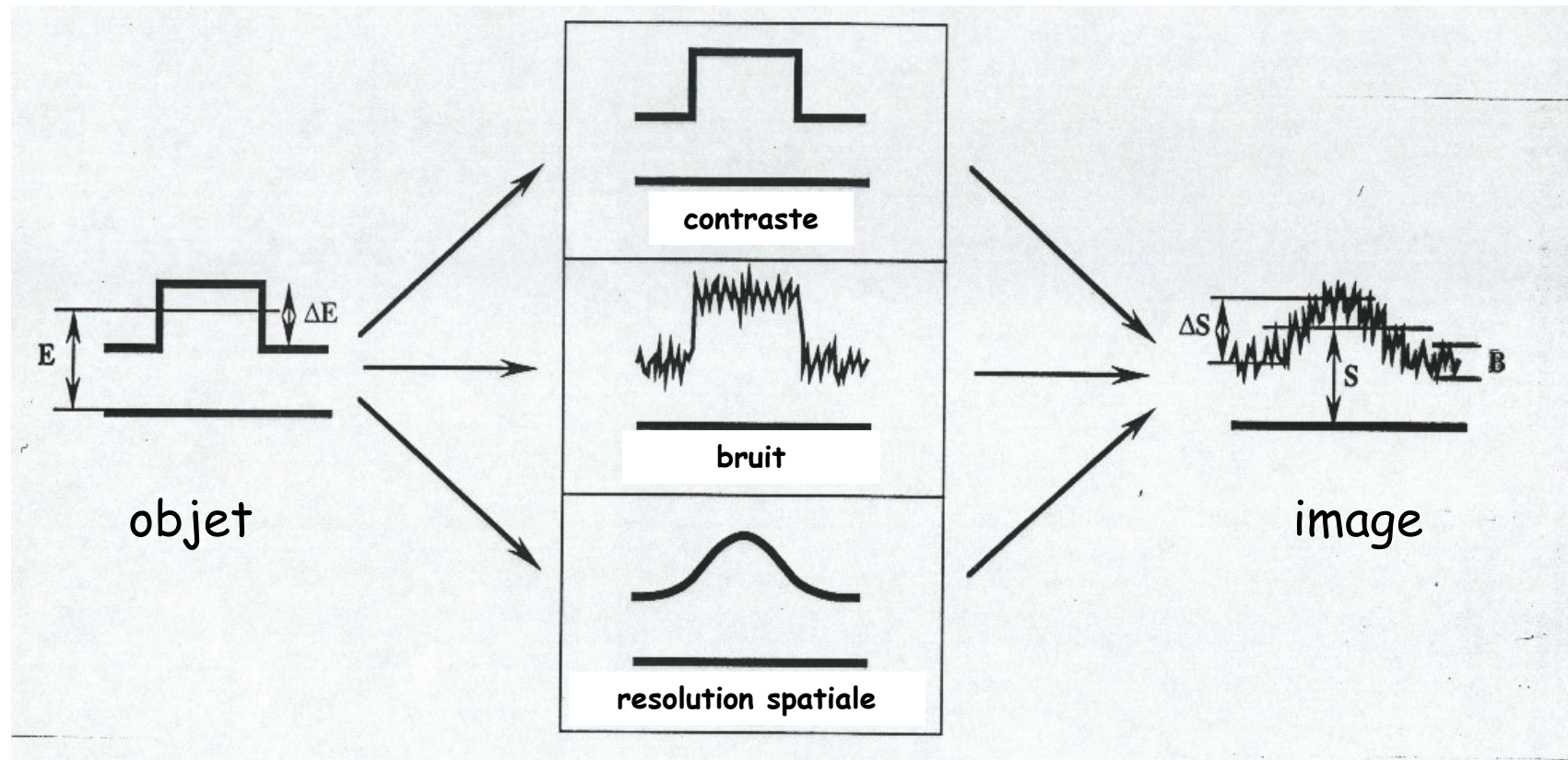
# différents types de détecteurs



Source : documentation Hologic

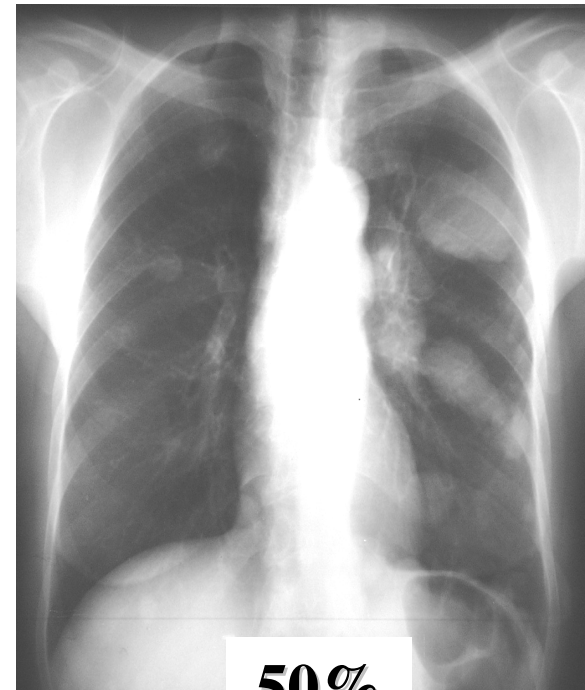


# Les 3 critères de qualité image



# Le Contraste

- **Définition :**  $C = \frac{I_1 - I_2}{I_1 + I_2}$
- dépend directement de  $I = I_0 \cdot e^{-\mu x}$



# Les modificateurs de contraste

- Adapter les réglages de  $V$  ( $kV$ ) et de  $i \cdot t$  ( $mAs$ )
- Diminuer le  $\mu$  d'un milieu
- Renforcer le  $\mu$  d'un milieu

# Adaptation des réglages

|   | Examen                           | d     | Tension | Intensité | Temps de pose |
|---|----------------------------------|-------|---------|-----------|---------------|
| a | Poumon face                      | 1,8 m | 135 kV  | 250 mA    | 20 ms         |
| b | Poumon face<br>( <i>enfant</i> ) | 1,5 m | 80 kV   | 250 mA    | 16 ms         |
| c | Gril costal                      | 1 m   | 55 kV   | 520 mA    | 250 ms        |
| d | Abdomen                          | 1 m   | 70 kV   | 600 mA    | 200 ms        |

# Les modificateurs de contraste

- Adapter les réglages de  $V$  ( $kV$ ) et de  $i.t$  ( $mAs$ )
- Diminuer le  $\mu$  d'un milieu
  - air (poumon – digestif) remplace localement le tissu
  - Clichés en inspiration-expiration, eau gazeuse...
- Renforcer le  $\mu$  d'un milieu

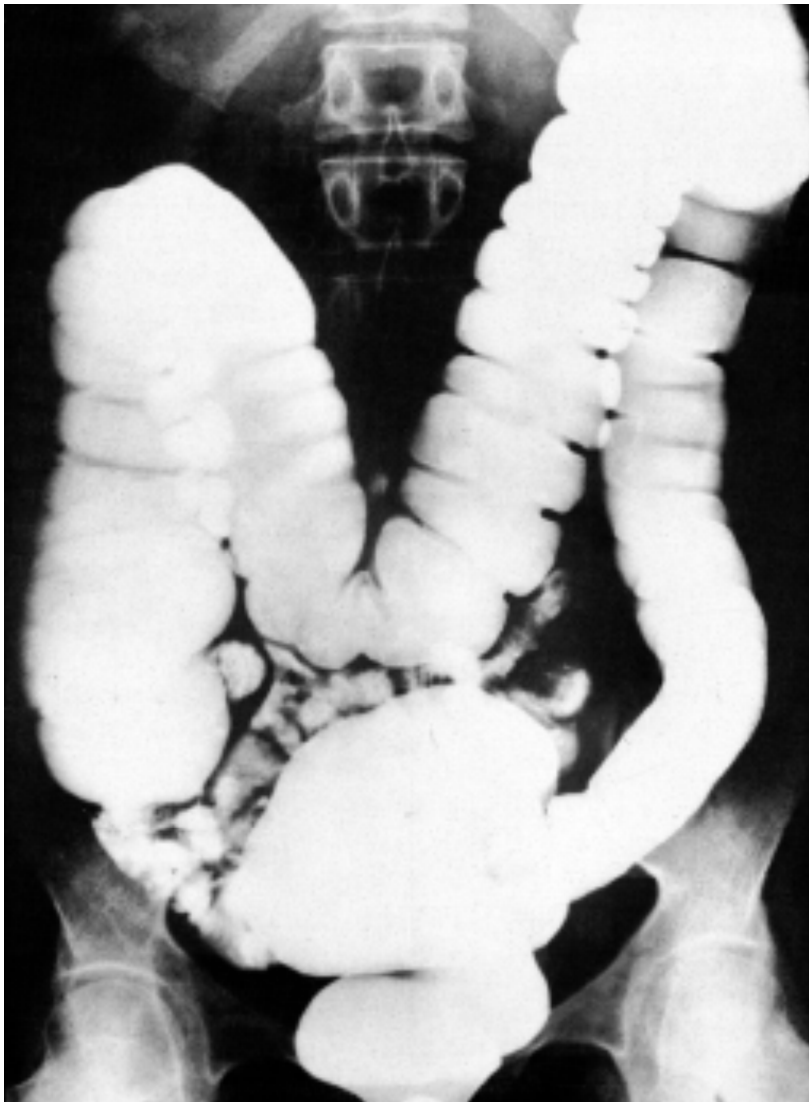
# Les modificateurs de contraste

- Adapter les réglages de  $V$  ( $kV$ ) et de  $i.t$  ( $mA.s$ )
- Diminuer le  $\mu$  d'un milieu
- Renforcer le  $\mu$  d'un milieu
  - sels de baryum (tube digestif) remplissent une cavité
  - composés iodés (vaisseaux) se diluent dans le sang
  - repères métalliques (clips et prothèse) implantés

# Les modificateurs de contraste

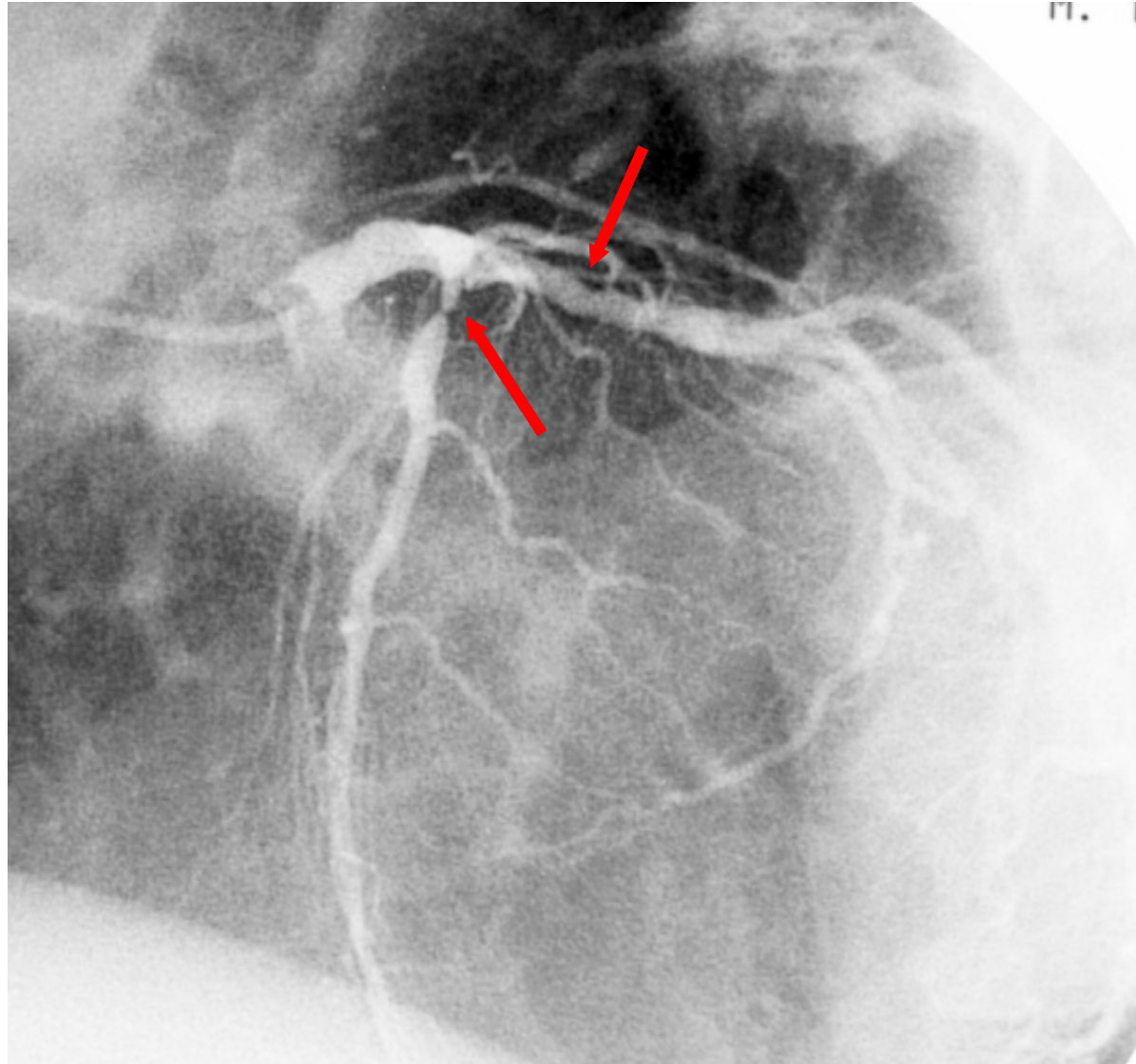
- Adapter les réglages de  $V$  ( $kV$ ) et de  $i.t$  ( $mAs$ )
- Diminuer le  $\mu$  d'un milieu
- Renforcer le  $\mu$  d'un milieu
- Combiner les deux types d'agents
  - Exemple : sels de baryum puis air
- Modifier le comportement de l'organisme
  - diurétiques : urographie UIV
  - médicaments cardiovasculaires
  - aliments : pour vider la vésicule biliaire

# Sels de baryum et air





# Produit de contraste iodé



# Contraste métallique



# Applications de la radiologie

- **Document médico-légal :**

*L'image devient la «preuve»*

⇒ Importance de l'archivage

- **Radiologie interventionnelle :**

- cathétérisation
- prise de pressions, prélèvements
- biopsie guidée, exérèse
- désobstruction, embolisation
- pose de dispositifs endo-vasculaires (stent, ombrelle...)

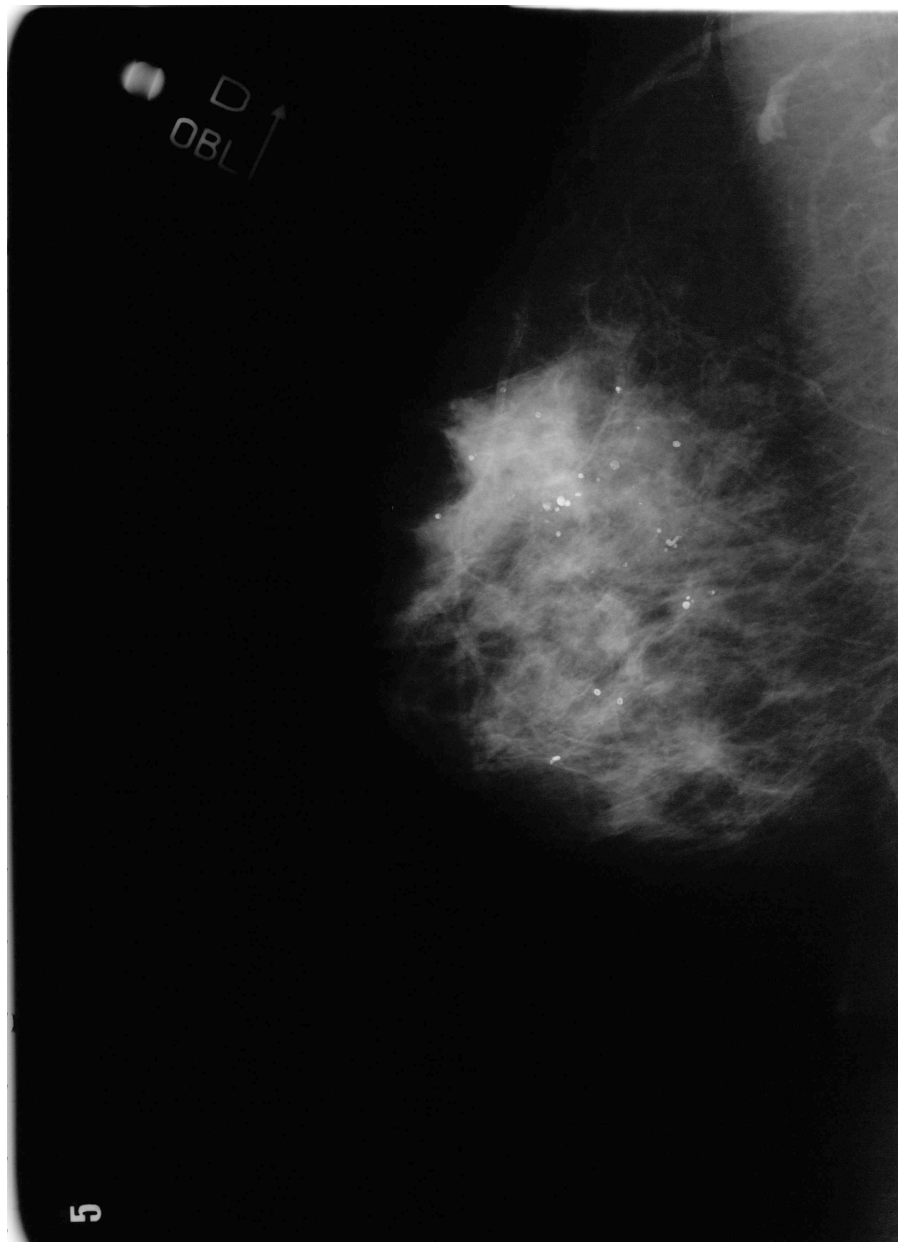
# Petit historique

- Analogique
  - Radiographies standard *1900*
  - Changeur automatique de films *1940*
  - Radiocinéma *1960*
  - Amplificateur de luminance + TV *1970*
- Numérique
  - Amplificateur + TV + codeur AN *1980*
  - Numériseur de film radiologique *1995*
  - Capteur numérique *1995*

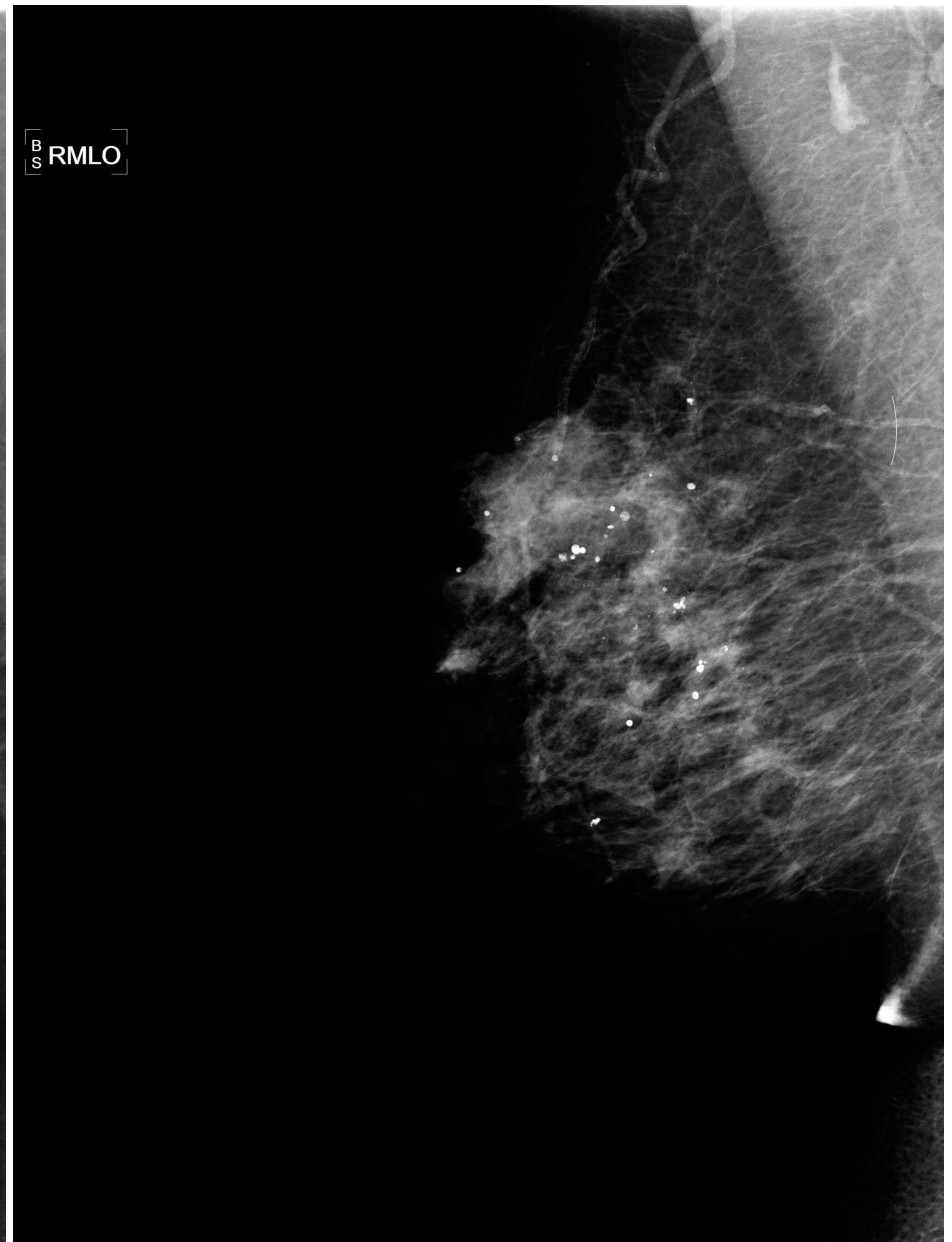
# Les enjeux du numérique

- Médicaux
  - Standardisation du dossier imagerie
  - Distribution simultanée du dossier patient (PACS)
  - Réduction des clichés « ratés »
  - Dosimétrie plus faible
- Techniques
  - Soustraction d'images / contraste
  - Transmission à distance
  - Amélioration de l'archivage (rapidité – sécurité)
  - Réduction du « coût » des archives

analogique



numérique



**Angio.  
numérique  
après  
soustraction  
du masque**

**Tumeur de la  
fesse**



# Situation actuelle : radiologie

- Le scanner X est numérisé
- Toute la radiologie n'est pas du scanner :
  - les clichés plans : poumons, ostéo-articulaire
  - les clichés à haute résolution: mammographie...
  - certains examens spécialisés :
    - examens vasculaires
    - examens digestifs
    - ...



avec nos sincères  
remerciements pour son aide  
précieuse dans la réalisation de  
ce document à notre ami  
le Pr Jean Yves Devaux  
(St Antoine)

*année 2008-2009*